

GYC1258

低噪声、16 通道、125kSPS、24 位 ADC

概述

GYC1258是一个低噪声、16通道、24位、ΔΣ型ADC,支持16个单通道输入或者8组差分输入。既可以支持单次转换也可以支持连续转换。单次转换时,最大数据速率为29.5kSPS;连续转换时,最大数据速率为125kSPS。片内含有PLL电路,可以将32.768kHz的晶振时钟升频至15.729MHz作为系统时钟使用,同时还可以接受外灌最高16MHz时钟作为系统时钟使用。

本芯片具有系统自检功能,可以通过寄存器 读取供电电压、片内温度、参考电压、增益、失 调电压等数据。支持串行SPI通信,可以对输入通 道、数据速率、GPIO、检测功能等进行配置。

应用领域

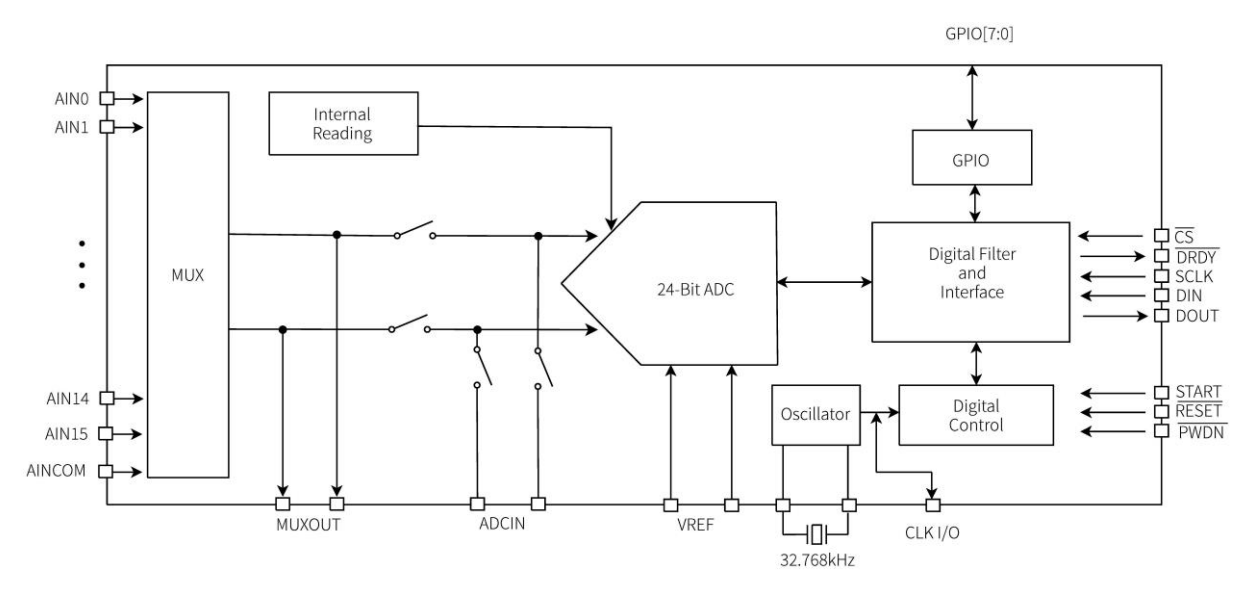
- 医学、航空电子设备和过程控制
- 机械及系统监视
- 快速扫描多通道仪器
- 工业系统
- 实验测量系统
- 科学仪器仪表

特性说明

- 24 位无失码
- 固定通道模式或自动扫描模式
- 固定通道模式数据速率: 125kSPS
- 自动扫描模式数据速率: 29.5kSPS/通道
- 单次转换数据稳定
- 16 个单端输入或 8 组差分输入
- 单极(+5V)或双极(±2.5V)工作电压
- 低噪声: 2.8µV_{RMS} @1.8kSPS
- 0.0003%积分非线性
- 0.02µV/°C 的失调电压漂移
- 0.4ppm/°C 的增益漂移
- 支持开路检测功能
- 具有转换开始控制管脚
- 内部信号可输出至片外进行信号调理
- 片上温度、基准电压、失调电压、ADC 增益、 电源电压回读自检
- 转换功耗 21mW
- 待机、休眠及断电模式
- 8个 GPIO 端口
- 32.768kHz 的晶振或外部时钟

技术说明

内部功能框图



引脚图

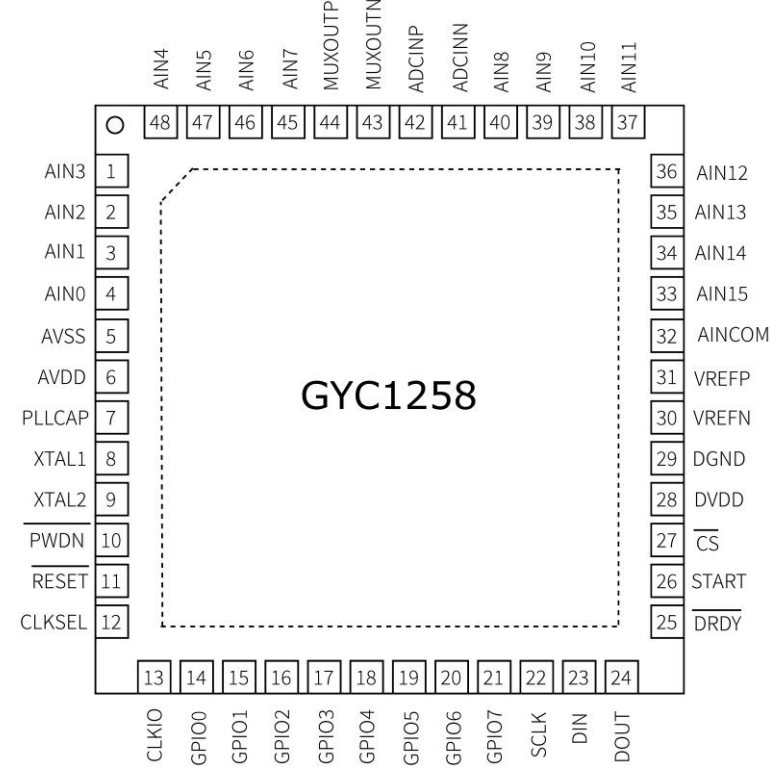


图 1 QFN48/CQFP48 引脚图

引脚定义

表 1 GYC1220 引出端功能

引脚编号	引脚名称	引脚类型[1]	说明
1	AIN3	Al	单端输入通道3,差分输入通道1(-)
2	AIN2	Al	单端输入通道 2, 差分输入通道 1(+)
3	AIN1	Al	单端输入通道 1,差分输入通道 0 (-)

引脚编号	引脚名称	引脚类型[1]	说明		
4	AIN0	Al	单端输入通道 0, 差分输入通道 0(+)		
5	AV_{SS}	PWR	模拟负极电源:单极 0V,或双极-2.5V		
6	AV_DD	PWR	模拟正极电源: 单极 5V, 或双极+2.5V		
7	PLLCAP	А	锁相环旁路电容: 当使用晶体振荡器时,连接 22nF 到 AVss		
8	XTAL1	А	32.768kHz 晶体振荡器输入管脚 1		
9	XTAL2	А	32.768kHz 晶体振荡器输入管脚 2		
10	PWDN	DI	断电控制:保持2个以上f _{CLK} 周期低电平进入低功耗模式		
11	RESET	DI	复位输入:保持2个以上f _{CLK} 周期低电平复位芯片		
12	CLKSEL	DI	时钟选择输入: 低 = 选择晶体振荡器,f _{CLK} 可通过CLKIO输出 高 = 禁用晶体振荡器,f _{CLK} 通过 CLKIO 输入		
13	CLKIO	DI/DO	系统时钟输入/输出(取决于 CLKSEL 管脚)		
14	GPIO0	DI/DO	通用数字输入/输出 0		
15	GPIO1	DI/DO	通用数字输入/输出 1		
16	GPIO2	DI/DO	通用数字输入/输出 2		
17	GPIO3	DI/DO	通用数字输入/输出3		
18	GPIO4	DI/DO	通用数字输入/输出 4		
19	GPIO5	DI/DO	通用数字输入/输出 5		
20	GPIO6	DI/DO	通用数字输入/输出 6		
21	GPIO7	DI/DO	通用数字输入/输出 7		
22	SCLK	DI	SPI 接口时钟输入,时钟上升沿锁存数据,下降沿输出数据		
23	DIN	DI	SPI 接口数据输入		
24	DOUT	DO	SPI 接口数据输出		
25	DRDY	DO	数据准备就绪输出,低有效		
26	START	DI	开始转换输入,高有效		
27	CS	DI	SPI 接口片选输入,低有效		
28	DV_{DD}	PWR	数字电源: 2.7V ~ 5.5V		
29	DGND	GND	数字地		
30	V_{REFN}	Al	基准源输入负极		
31	V_{REFP}	Al	基准源输入正极		
32	AINCOM	Al	所有单端输入的公共参考地		
33	AIN15	Al	单端输入通道 15,差分输入通道 7(-)		
34	AIN14	Al	单端输入通道 14,差分输入通道 7(+)		
35	AIN13	Al	单端输入通道 13,差分输入通道 6 (-)		
36	AIN12	Al	单端输入通道 12,差分输入通道 6(+)		
37	AIN11	Al	单端输入通道 11,差分输入通道 5 (-)		
38	AIN10	Al	单端输入通道 10,差分输入通道 5(+)		
39	AIN9	Al	单端输入通道 9, 差分输入通道 4 (-)		
40	AIN8	Al	单端输入通道 8, 差分输入通道 4(+)		
41	ADCINN	Al	ADC 差分输入(-)		
42	ADCINP	Al	ADC 差分输入 (+)		

引脚编号	引脚名称	引脚类型[1]	说明
43	MUXOUTN	AO	多路选择器差分输出 (-)
44	MUXOUTP	AO	多路选择器差分输出(+)
45	AIN7	Al	单端输入通道 7,差分输入通道 3 (-)
46	AIN6	Al	单端输入通道 6,差分输入通道 3(+)
47	AIN5	Al	单端输入通道 5,差分输入通道 2 (-)
48	AIN4	Al	单端输入通道 4, 差分输入通道 2(+)
-	EPAD	NC	底部焊盘,无内部电气连接;可以连接到 AVss 或者浮空

注^[1]: PWR 表示电源,GND 表示接地,DI 表示数字输入,DO 表示数字输出,DI/DO 表示数字输入/输出,A 表示模拟,AI 表示模拟输入,AO 表示模拟输出。

绝对最大额定值



参数列表

默认测试条件: AV_{DD} = +2.5V, AV_{SS} = -2.5V, DV_{DD} = +3.3V, V_{REF} = +4.096V, V_{REFN} = -2.5V, f_{CLK} = 16MHz (External clock) or f_{CLK} = 15.729MHz (Internal clock) , BYPASS = 1, T_A = -55°C ~ +125°C。

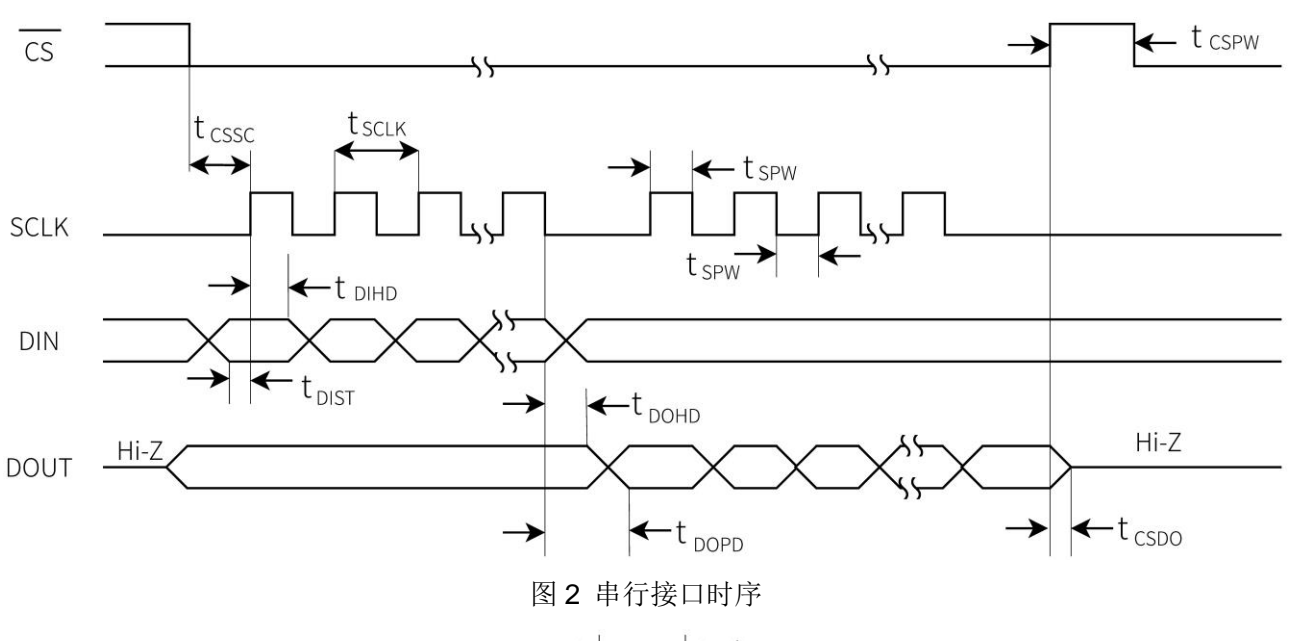
参数	条件	最小	典型	最大	单位		
模拟输入							
单端输入绝对电压	AIN0~AIN15、AINCOM相对于 DGND	AV _{SS} - 0.1	_	AV _{DD} + 0.1	V		
差分输入满量程电压	V _{IN} = ADCINP - ADCINN	_	±1.067V _{REF}	_	V		
通道导通阻抗	_	-	80	-	Ω		
差分输入阻抗	-	-	52	-	kΩ		
串扰	f _{IN} = 1kHz	-	-110	_	dB		
ADC							
分辨率	无失码	24	_	_	Bits		
输出数据速率	固定通道模式	1.953	-	125	kSPS		
	自动扫描模式	1.859	-	29.52	kSPS		
积分非线性(INL)	差分输入	-	0.0003	0.001	% of FSR ^[1]		
失调误差	输入短接,不使能斩波	-	20	_	μV		

参数	条件	最小	典型	最大	单位
失调误差	输入短接,使能斩波	-	1	10	μV
L. NEI 2007年7月	不使能斩波	-	0.5	-	μV/°C
失调漂移	使能斩波	-	0.02	0.1	μV/°C
增益误差	-	-	0.2	0.5	%
增益漂移	-	-	0.4	2	ppm/°C
转换噪声	DRATE[1:0] = 11	-	12	-	μV _{RMS}
共模抑制	$f_{CM} = 50 Hz/f_{CM} = 60 Hz$	90	100	_	dB
电源抑制(AV _{DD} , AV _{SS})	f _{PS} = 50Hz/f _{PS} = 60Hz	70	85	-	dB
电源抑制(DV _{DD})		80	95	-	dB
信噪比(SNR)		-	103	-	dB
总谐波失真(THD)		-	-117	-	dB
信噪失真比(SNDR)	$f_{IN} = 1kHz$, $V_{IN} = -0.5dBFS$	-	103	-	dB
无杂散动态范围 (SFDR)		-	119	-	dB
基准电压		'		1	
差分输入范围	$V_{REF} = V_{REFP} - V_{REFN}$	-	4.096	AV _{DD} - AV _{SS}	V
V _{REFN}	-	AV _{SS} - 0.1	-	V _{REFP} - 1.2	V
V _{REFP}	-	-	4.096	AV_{DD}	V
输入阻抗	-	-	18	-	kΩ
系统参数		1		1	
外部基准电压读取误差	-	-	1	3	%
电源电压读取误差	-	-	1	3	%
温度传感器电压	T _A = 25°C	-	142	-	mV
温度传感器温度系数	_	-	441	-	μV/°C
数字输入输出				-	
V _{IH}	-	0.7DV _{DD}	-	DV _{DD}	V
V _{IL}	-	DGND	-	0.3DV _{DD}	V
V _{OH}	I _{OH} = -2mA	0.8DV _{DD}	-	DV _{DD}	V
V _{OL}	I _{OL} = 2mA	DGND	-	0.2DV _{DD}	V
I _{IH}	$V_{IN} = DV_{DD}$	-	1	-	μA
I _{IL}	V _{IN} = GND	_	1	_	μA
输入时钟频率	-	0.1	_	16	MHz
输入时钟占空比	_	40	_	60	%
晶振频率	_	-	32.768	_	kHz
电源输入		1			
DV_DD	-	2.7	_	5.25	V
AV _{SS}	_	-2.6	_	0	V
AV _{DD}	_	AV _{SS} + 4.75	_	AV _{SS} + 5.25	V
	外部时钟工作	-	0.15	0.47	mA
DV _{DD} 电流	内部时钟工作,不使能时钟输出	_	5.0	_	μA

参数	条件	最小	典型	最大	单位
DV 中海	内部时钟工作,使能时钟输出	-	1.6	_	mA
DV _{DD} 电流	断电模式	-	0.1	_	μA
	转换模式	-	4.1	5.1	mA
AV _{DD} ,AV _{SS} 电流	待机模式	-	2.5	_	mA
AV _{DD} ,AV _{SS} 电视	休眠模式	-	2.1	-	mA
	断电模式	-	0.3	-	μA
	转换模式	-	21	_	mW
功耗	待机模式	-	13	_	mW
切杙	休眠模式	_	11	-	mW
	断电模式	-	2	_	μW

注^[1]: FSR = ±1.067V_{REF}。

时序规格



DRDY — t DDO

Hi-Z

DOUT

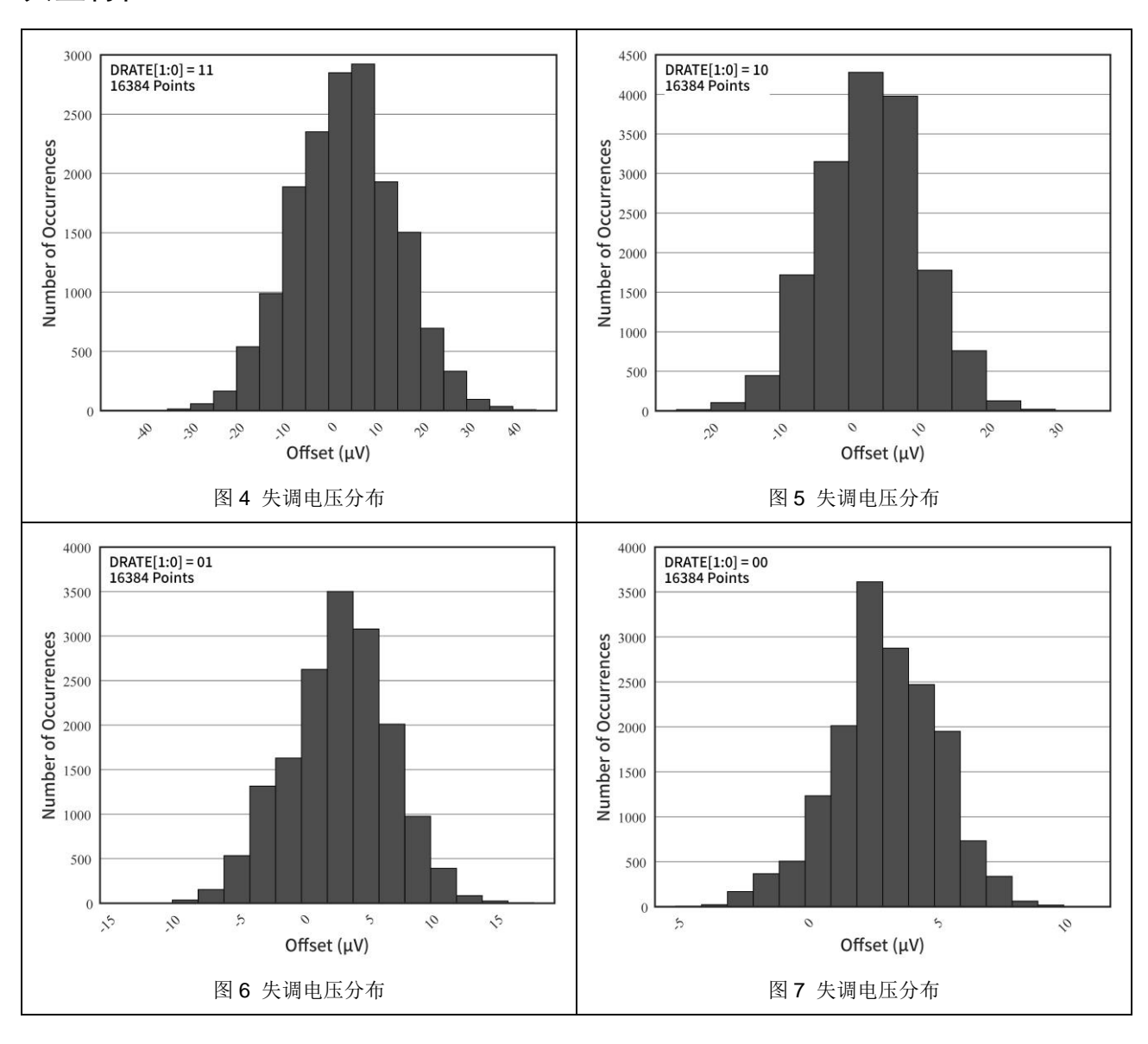
图 3 DRDY更新时序

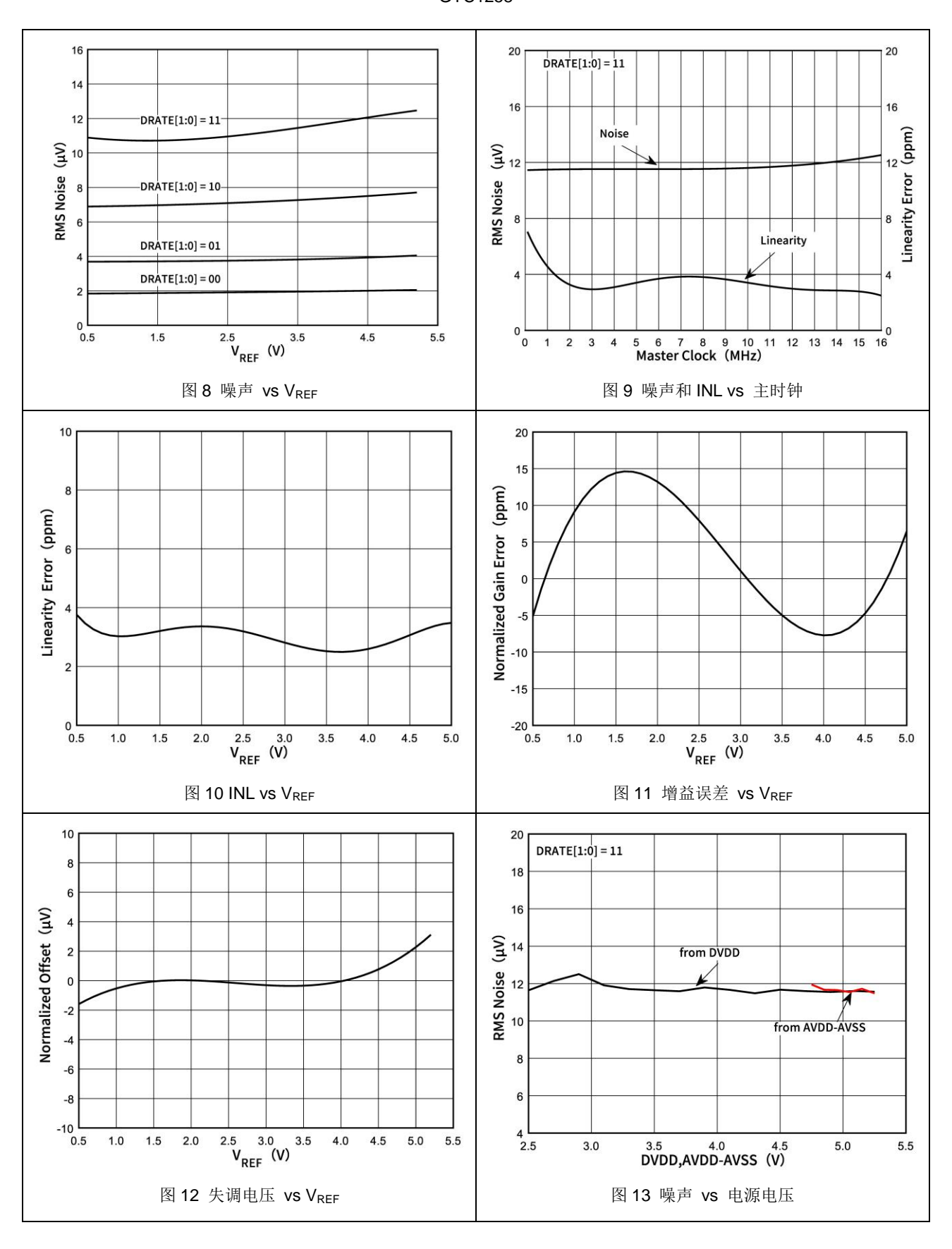
表 2 串行接口时序特征

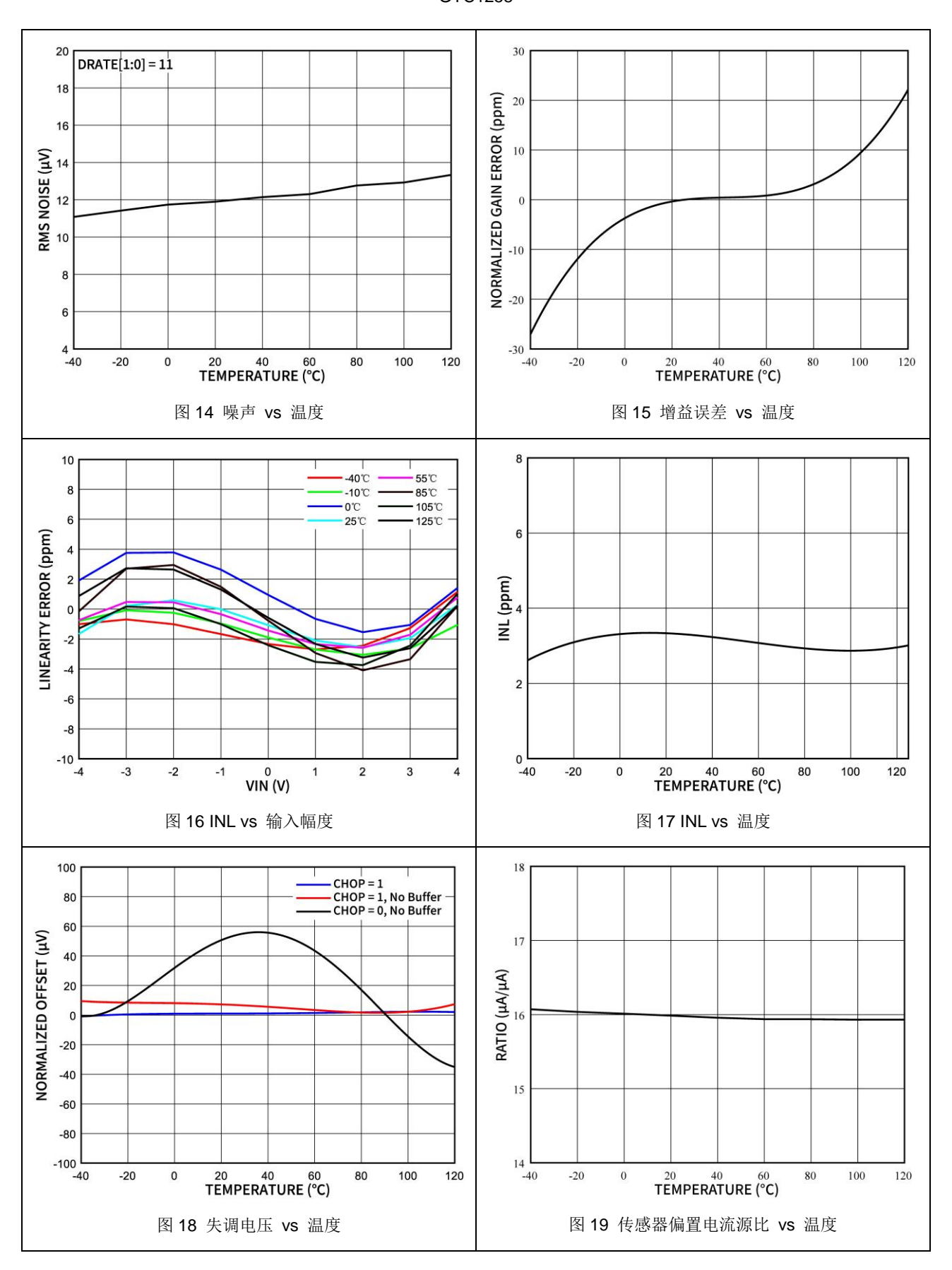
参数	描述	最小值	典型值	最大值	单位
t _{SCLK}	SCLK 时钟周期	2	-	-	1/f _{CLK}
t _{SPW}	SCLK 高电平或低电平脉冲宽度(最大可以达到 SPI 复位值)	0.8	-	4096	1/f _{CLK}
t _{CSSC}	CS低电平到第一个 SCLK 上升沿:建立时间	2.5	_	-	1/f _{CLK}
t _{DIST}	有效 DIN 到 SCLK 上升沿:建立时间	22	_	-	ns
t _{DIHD}	有效 DIN 到 SCLK 下降沿:保持时间	1	_	_	ns

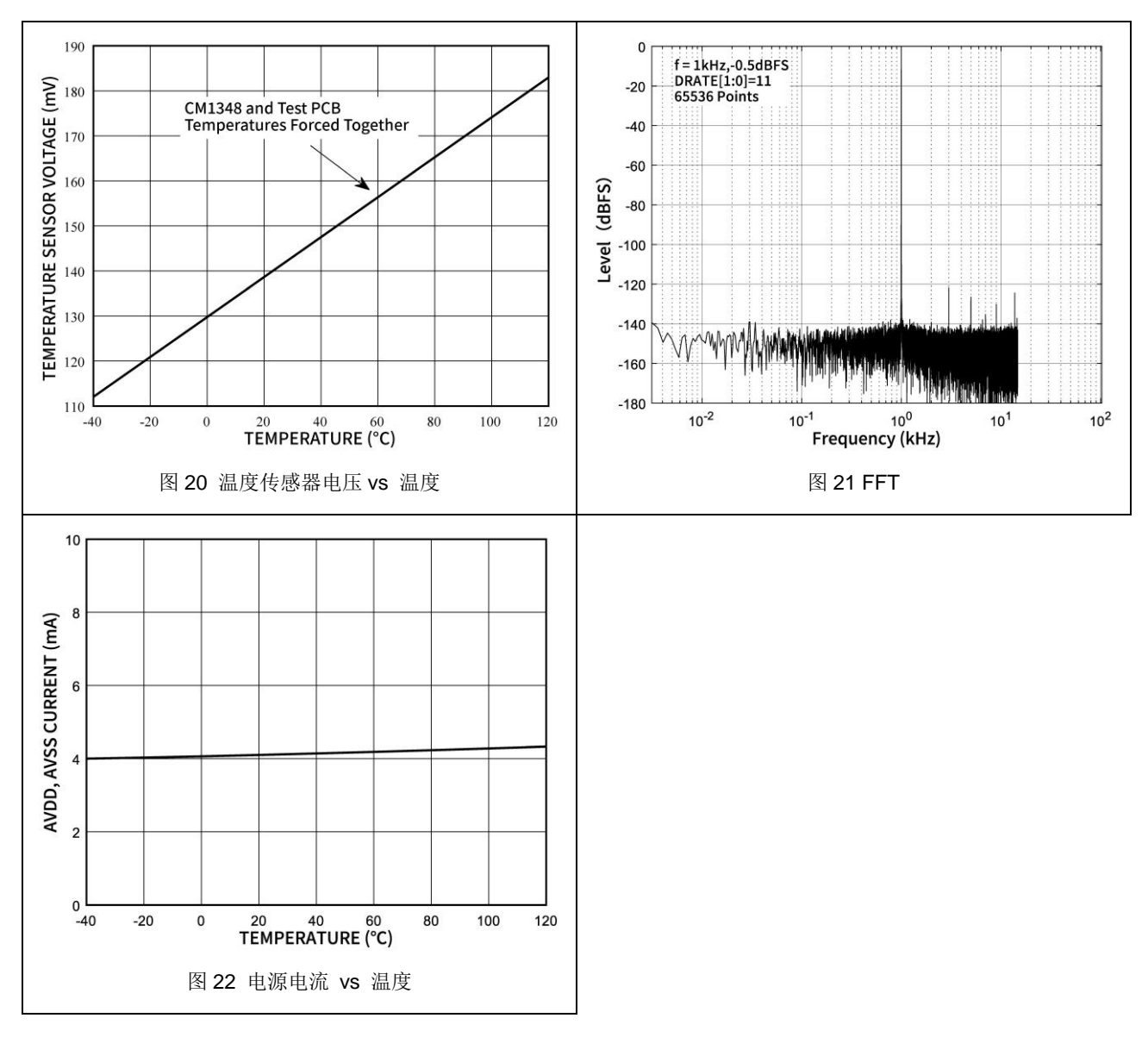
参数	描述	最小值	典型值	最大值	单位
t _{DOPD}	SCLK 下降沿到新的有效输出: 传输延时	-	-	34.1	ns
t _{DOHD}	SCLK 下降沿到上一次的有效输出:保持时间	8.49	-	_	ns
t _{CSDO}	CS高电平到无效 DOUT (三态)	ı	5	ı	1/f _{CLK}
t _{CSPW}	CS高脉冲宽度	2	ı	ı	1/f _{CLK}
t _{DRDY}	数据未读时DRDY高脉冲宽度	ı	1	ı	1/f _{CLK}
t _{DDO}	有效 DOUT 到DRDY下降沿(CS = 0)	_	0.5	_	1/f _{CLK}

典型特征









工作原理

概述

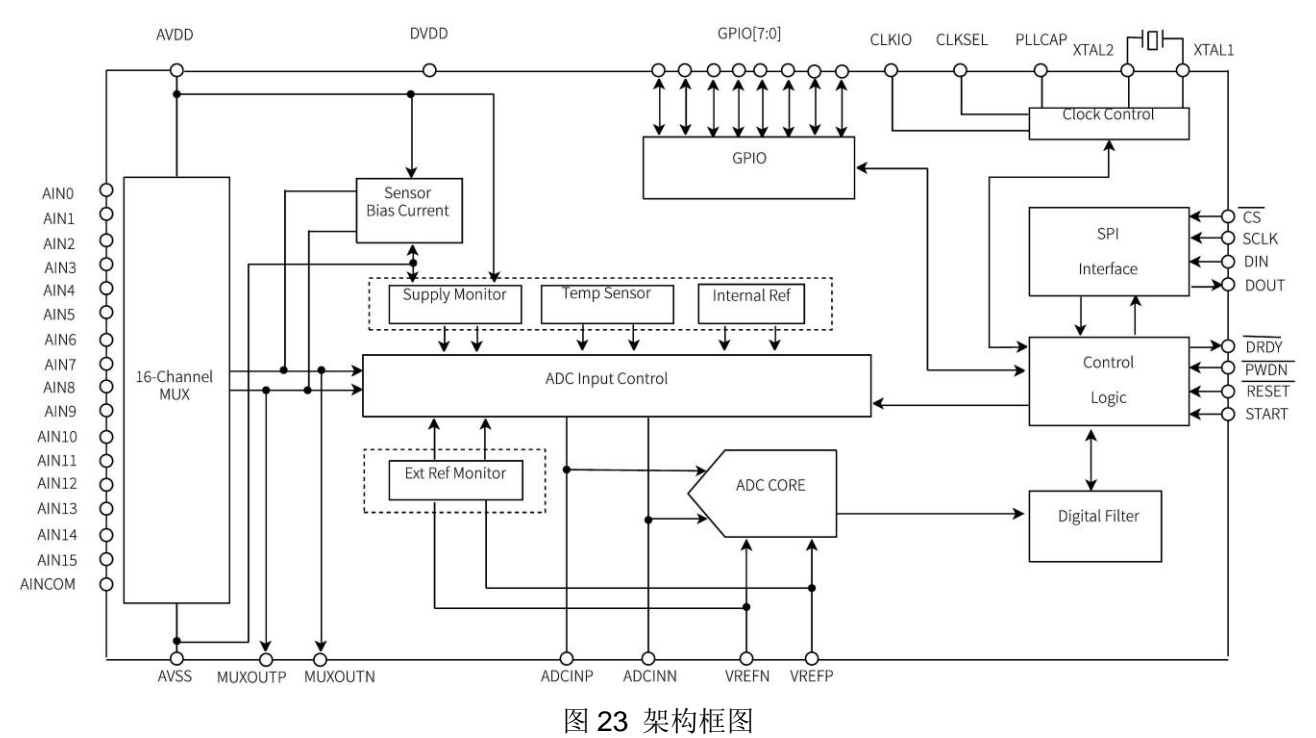
GYC1258是一款灵活的、快速多通道、低噪声、24位ADC。转换器提供一个最大为29.5kSPS的通道扫描速度,在小于700µs的时间里完成一个完整的16通道扫描。

图23给出了GYC1258的架构框图。外部采样信号可以通过以下两种方式进入ADC进行采样:

- 1)经过多路选择器选择后,从MUXOUTP/N管脚输出到片外,然后经过调理后,再从ADCINP/N管脚输入并送到ADC调制器;
- 2)经过多路选择器后,直接送到ADC调制器。芯片内部电流源可以输出到选中的外部通道,用以偏置传感器或是作为开路检测。片上系统自检功能可以回读温度、电源电压、增益、失调电压和外部基准电压。

GYC1258的转换器电路由三阶、ΔΣ调制器跟一个可编程的数字滤波器组成。调制器可以根据基准电压 $V_{REF} = (V_{REFP} - V_{REFN})$ 测量差分输入信号 $V_{IN} = (ADCINP - ADCINN)$ 。数字滤波器收到调制器的信号后,给出一个低噪声的数字输出。信号转换支持通道自动扫描,最大速度为29.5kSPS。降低扫描速度,可以增大分辨率。

GYC1258采用SPI通信协议,可以通过片上寄存器对输入多路选择器、传感器电流偏置、数据速率等参数进行配置。不管是连接到XTAL1和XTAL2的外部32.768kHz的晶振,还是连接到CLKIO的外部时钟,都可以作为系统时钟源。当采用外部晶振作为时钟源时,可以将系统时钟输出到片外以驱动其它设备和控制器。GPIO提供8个可作为输入和输出的控制口。



多路选择器

图24给出了多路选择器的简图。多路选择器可以提供16通道的某一单端输入,或者8通道的某一差分输入,或是片上监测信号到ADC的输入。也可以通过MUXOUTP/N管脚输出到片外,再经由ADCINP/N管脚输入到ADC,从而实现在芯片外部进行信号调理的功能。

转换器支持两种模式对多路选择器的通道进行访问:自动扫描模式和固定通道模式。这两种模式是通过寄存器CONFIGO的MUXMOD位选定。自动扫描模式自动扫描选定的一个或者多个通道,固定通道模式则只会对预先设定的一个待测量通道进行转换。

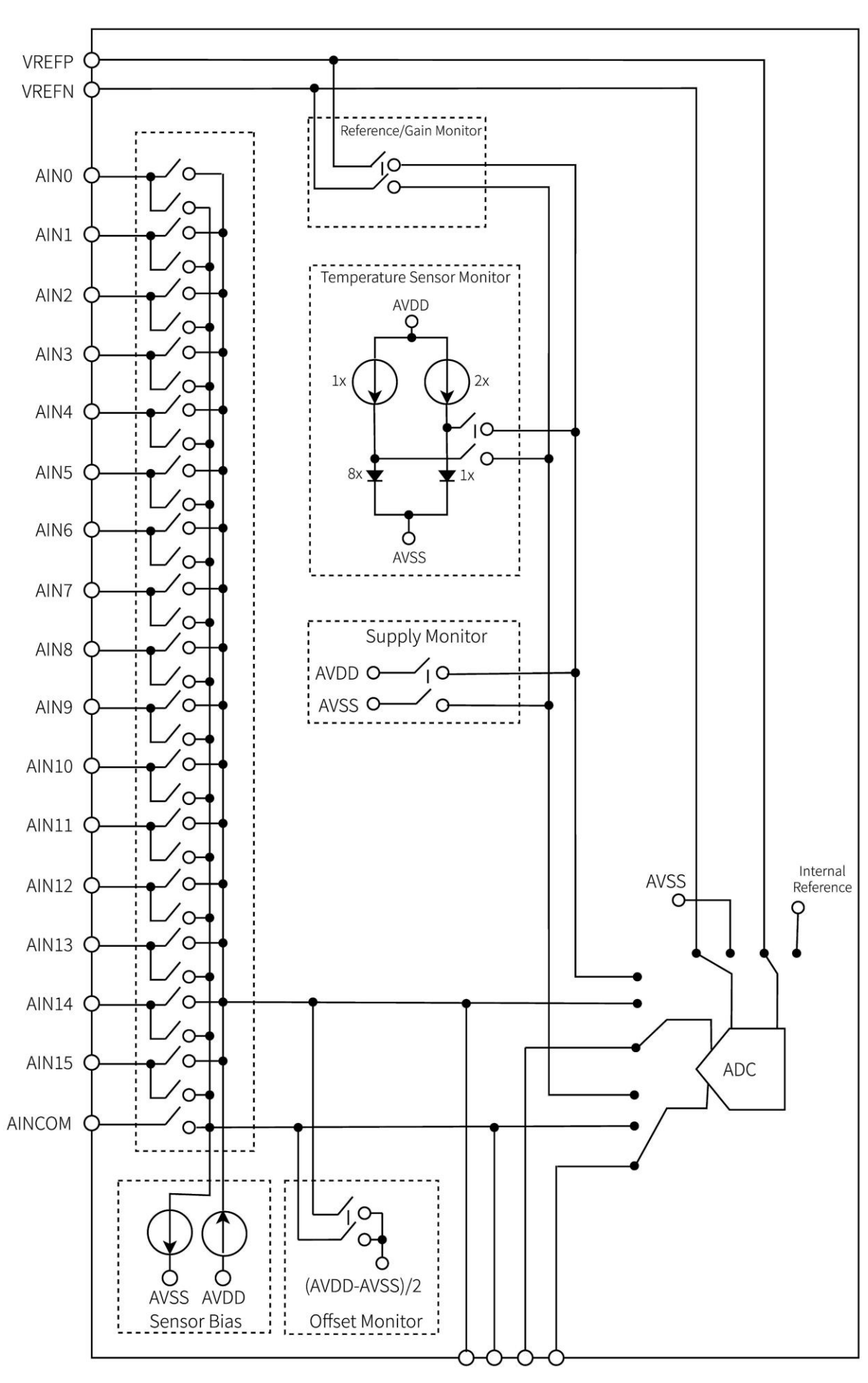


图 24 输入多路选择器

基准电压

GYC1258的基准电压是 V_{REFP} 和 V_{REFN} 之间的差分值: $V_{REF} = V_{REFP} - V_{REFN}$ 。基准输入采用和模拟输入电路类似的结构,如图25所示。开关电容在 $f_{CLK} = 16MHz$ 时,等效的电阻是 $18k\Omega$,需要注意该等效阻抗会作为基准驱动芯片的负载。

GYC1258要达到最好性能需要一个高品质的基准电压源。基准源带来的噪声和漂移会导致整个系统的性能降低。在低数据率下(即ADC工作于低噪声模式),基准源电路的噪声、PCB板图等需要特别注意,以防恶化整体性能。

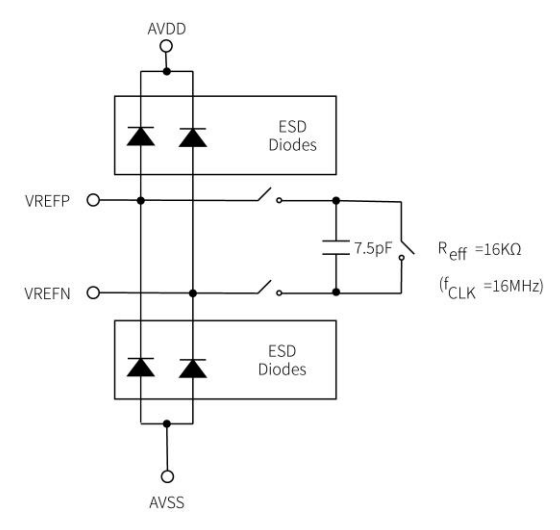


图 25 简化基准输入电路

主时钟 (fclk)

GYC1258以高速率对模拟输入进行过采样,这需要将高频主时钟提供给转换器。如图26所示,时钟可以来自于晶体振荡器,或者外部时钟源。

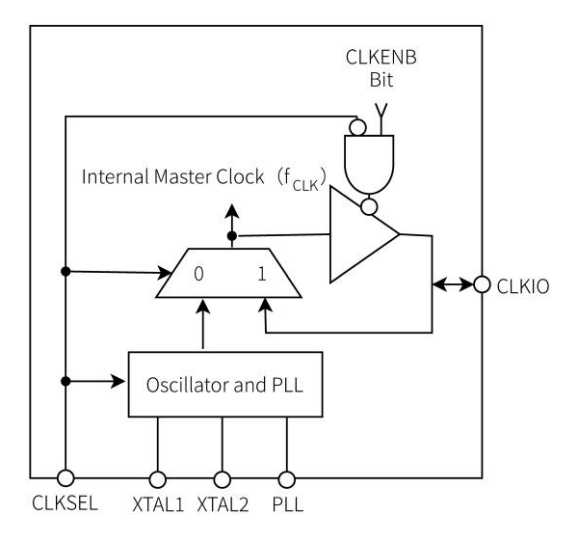


图 26 时钟产生模块架构

晶体振荡器

片上振荡器和锁相环(PLL)以及外部晶体可用于生成系统时钟。采用此模式时,需要将CLKSEL管脚连接到低电平,同时在PLLCAP管脚和AV_{SS}管脚之间加一个22nF滤波电容。PLL的内部时钟可以输出到CLKIO以驱动其他转换器或控制器。如果未使用,禁用时钟输出以降低设备功耗,设置见表3。图27为晶

体振荡器的连接。将这些部件放置在尽可能靠近管脚的位置,以避免干扰和耦合。不要将XTAL1或XTAL2 连接到任何其他电路。振荡器启动时间可能会根据晶体型号和环境温度而变化,用户应验证振荡器的启动 时间。

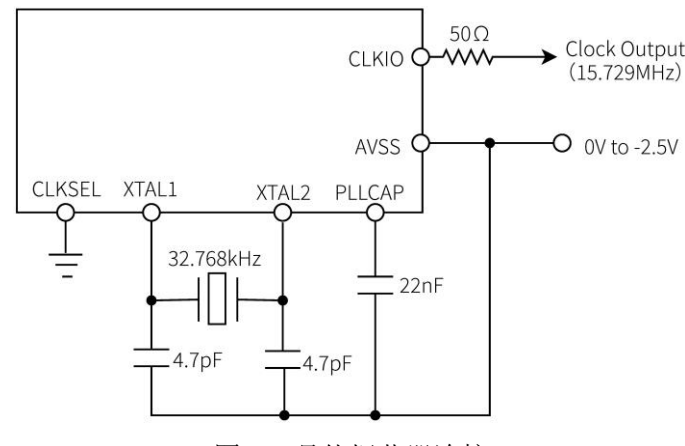


图 27 晶体振荡器连接

表 3 系统时钟源

CLKSEL	CLKENB	时钟源	CLKIO 功能
0	0	32.768kHz晶体振荡器	禁用 (内部接地)
0	1	32.768kHz晶体振荡器	输出(15.729MHz)
1	X	外部时钟输入	输入(16MHz)

外部时钟输入

当使用外部时钟时,需要将CLKSEL管脚连接到高电平,并将主时钟通过CLKIO管脚输入,如图28所示。

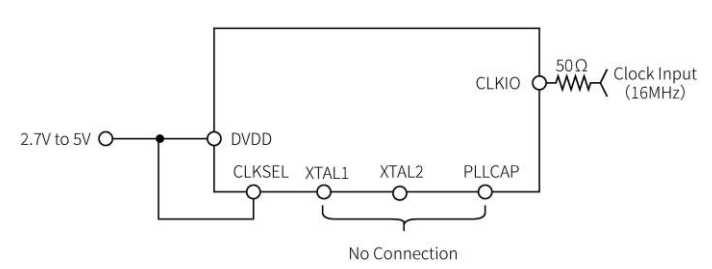


图 28 外部时钟连接

ADC

GYC1258的ADC是由两部分模块组成:调制器和数字滤波器。

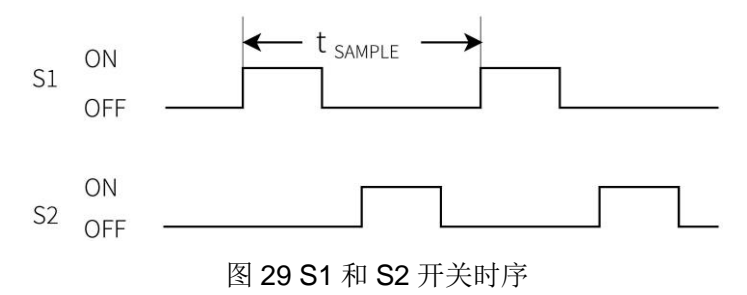
调制器

调制器是把模拟输入电压转变成数据脉冲调制(PCM)的数据流。当差分模拟输入(ADCINP-ADCINN)电压值接近基准电压的时候,PCM数据流中出现"1"的密度最大,当差分模拟输入接近于零的时候,PCM编码中出现"0"和"1"的次数几乎是相等的。三阶调制器将量化噪声搬移到高频带,这样数字滤波器可以容易地将其去除。

GYC1258的ADC通过内部电容不间断的充放电来测量输入信号。图30的左边给出了ADC输入电路的简单示意图;右边给出了用等效电阻替换电容和开关的输入电路图。图29给出了图30开关的开关时序。在采样阶段,S1闭合,C_{A1}被充电至ADCINP,C_{A2}被充电至ADCINN,C_B被充电至(ADCINP-ADCINN)。版本: V1.1

在放电阶段,S1先断开,接着S2闭合。 C_{A1} 和 C_{A2} 放电到交流地, C_{B} 放电到0V。充电和放电这两个状态周期循环时间为 $t_{SAMPLE}=4/f_{CLK}$ 。

在对输入电容充电时,会从输入源产生一个充电电流。这个电流的平均值可以用来计算等效输入阻抗, $R_{eff} = V_{IN}/I_{AVERAGE} . 阻值与 f_{CLK} 成反比 .$



调制器会不断地对输入信号进行斩波,这样能够得到极好的失调电压性能。需要注意的是,源自外部电路的失调电压不能被调制器内部斩波去除,使用**GYC1258**外部斩波可以有效去除该部分失调。

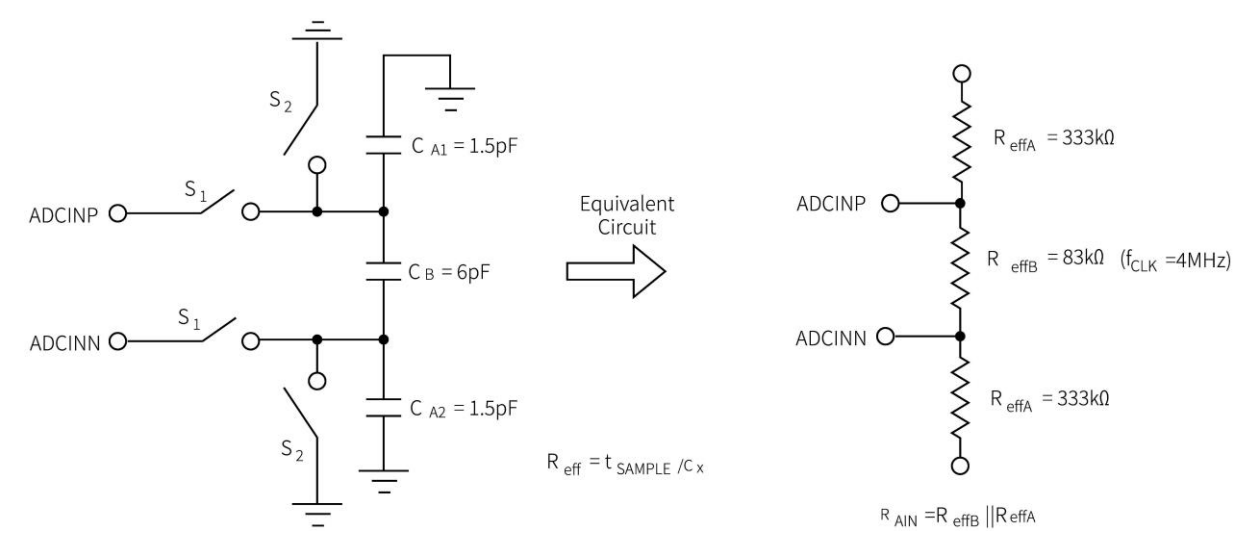


图 30 ADC 输入示意图

启用外部斩波后(CHOP = 1),转换器在同一通道上连续读取两个读数,两个读数极性相反,对这两个读数取平均值可以抵消失调,如图31所示。在启用外部斩波的情况下,数据速率会降低到正常情况下的一半。

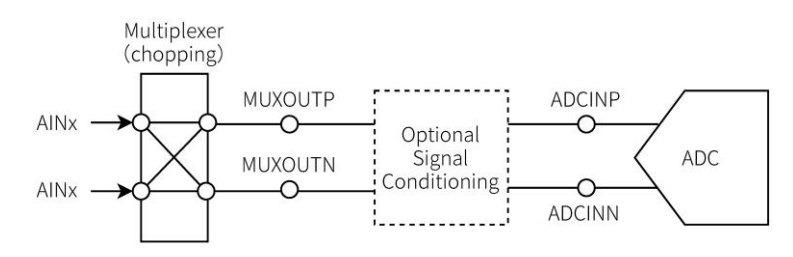


图 31 外部斩波

由于输入反转是通过内部多路选择器的开关切换实现,因此在开关切换后需要足够的延迟时间,以保证信号建立稳定(请参考自动扫描模式中的开关延时部分)。

外部斩波可显著降低总失调误差(小于10μV)和随温度的失调漂移(小于0.2μV/°C)。但是需要注 意在启用外部斩波下,将无法实现系统自检功能。

数字滤波器

可编程低通数字滤波器接收调制器输出并产生高精度数字输出。滤波器滤除的噪声越多分辨率越高,滤除的噪声越少数据速率越高,以此权衡分辨率和数据速率的需求来对滤波器进行相应配置。数字滤波器由两部分构成,在固定阶数滤波器后面跟着一个可编程的滤波器。图32给出了滤波器的结构图。数据以f_{CLK}/4的速率从模拟调制器传入滤波器。固定阶数滤波器是抽取值为32的四阶sinc滤波器,其以f_{CLK}/128的速率输出数据。滤波器的第二级是可编程滤波器(一阶sinc滤波器),使用DRATE[1:0]给出的值进行平均。

数据速率依赖于系统时钟频率和转换器的结构。数据速率可通过如下公式[1]和公式[2]算出:

公式[1],数据速率(自动扫描模式):

$$\frac{f_{CLK}}{128(4^{11b-DR}+3.234417+TD)\times 2^{CHOP}}$$
 [1]

公式[2],数据速率(固定通道模式):

$$\frac{f_{CLK}}{128(4^{11b-DR} + CHOP(3.234417 + TD)) \times 2^{CHOP}}$$
 [2]

说明: DR = DRATE[1:0]寄存器位二进制; CHOP = Chop寄存器位; TD = 延时时间值128/f_{CLK}周期 表4显示了自动扫描和固定通道模式在DRATE[1:0]寄存器不同设置下数据平均次数以及对应的数据 速率(CHOP = 0,DLY = 0)。请注意,数据速率直接与f_{CLK}成比例。例如,将f_{CLK}减少2x最大数据速率 将减少2x。

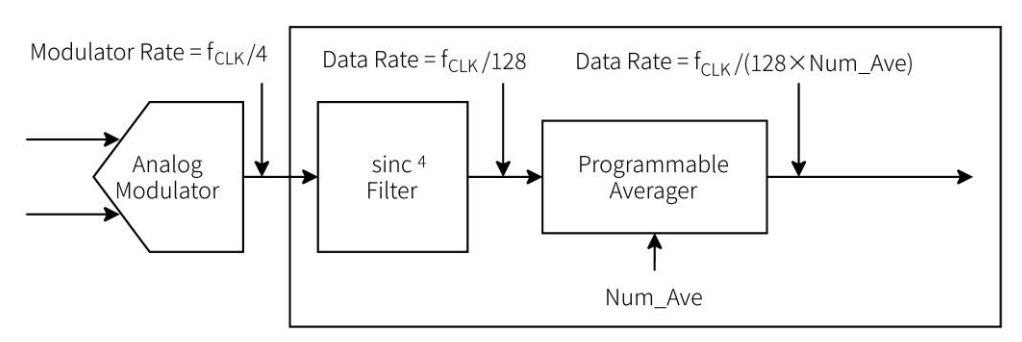


图 32 数字滤波器框图

表 4 数据速率

DRATE[1:0]	平均次数	平均次数自动扫描模 式数据速率(SPS)	固定通道模式数据 速率(SPS)	-3dB带宽(Hz)
11	1	29520	125000	25390
10	4	17279	31250	12402
01	16	6499	7813	3418
00	64	1859	1953	869

数据缩放比例和溢出

为了避免输入满量程或者接近满量程信号的时候转换器过载,GYC1258对输入信号进行了大约6.67%的压缩再送到转换器。基于此设计, $1LSB = V_{REF}/780000h$,并且在以下情况下输出满码: $|V_{IN}| \ge 1.067 \times V_{REF}$ 。表5总结了理想的输出码字与输入信号的关系。

表 5 理想输出码字 vs 输入信号

输入信号V _{IN} (ADCINP-ADCINN)	理想输出码字 ^[1]	描述
≥ +1.067V _{REF}	7FFFFh	输出最大正满量程
+V _{REF}	780000h	$V_{IN} = +V_{REF}$
$+1.067V_{REF} \div (2^{23}-1)$	000001h	+1LSB
0	000000h	零输入
$-1.067V_{REF} \div (2^{23} - 1)$	FFFFFFh	-1LSB
-V _{REF}	87FFFFh	$V_{IN} = -V_{REF}$
\leq -1.067V _{REF} × 2 ²³ ÷ (2 ²³ – 1)	800000h	输出最大负满量程

注[1]: 排除噪声、线性、失调和增益误差的影响。

频率响应

ADC的低通数字滤波器决定了GYC1258的频率响应特性。滤波器响应是固定阶数滤波器和可编程滤波器两部分响应的乘积,如下列公式[3]所示:

$$\left| H(f) \right| = \left| H_{\text{sinc}}^{4}(f) \right| \times \left| H_{\text{Average}}(f) \right| = \left| \frac{\sin\left(\frac{128\pi \times f}{f_{\text{CLK}}}\right)}{64 \times \sin\left(\frac{2\pi \times f}{f_{\text{CLK}}}\right)} \right|^{4} \times \left| \frac{\sin\left(\frac{128\pi \times \text{Num_Ave} \times f}{f_{\text{CLK}}}\right)}{\text{Num_Ave} \times \sin\left(\frac{128\pi \times f}{f_{\text{CLK}}}\right)} \right|$$
[3]

数字滤波器消除调制器输出噪声,包括来自GYC1258内部的噪声和输入信号中存在的外部噪声。通过 改变可编程滤波器平均次数来改变滤波器带宽。平均次数越高,带宽越小,噪声越小。

低通滤波器在数据输出速率及其倍数处具有陷波点(或零点)。滤波器的sinc4部分在f_{CLK}/128及其倍频处产生宽带陷波。在这些频率下,滤波器的增益为零。图33显示了sinc4的频率响应。请注意,在自动扫描模式下,数据速率会降低,但同时保持与固定通道模式相同的频率响应。

通过可编程滤波器的平均后,sinc4滤波器产生的宽带陷波仍然存在,另外在响应中叠加了许多窄带陷波。窄带陷波的数量由平均次数决定(平均次数减1)。

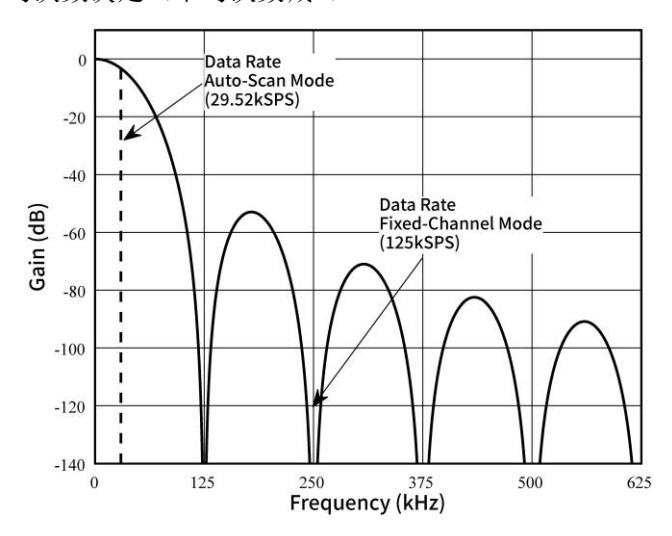


图 33 频率响应, DRATE[1:0] = 11

图34给出了平均值为4(DRATE[1:0] = 10)时的响应。在sinc4滤波器的每个主陷波之间产生三个等距的陷波。DRATE[1:0] = 01和00的频率响应遵循相似的模式,分别在sinc4陷波之间具有15和63个等距的陷波。

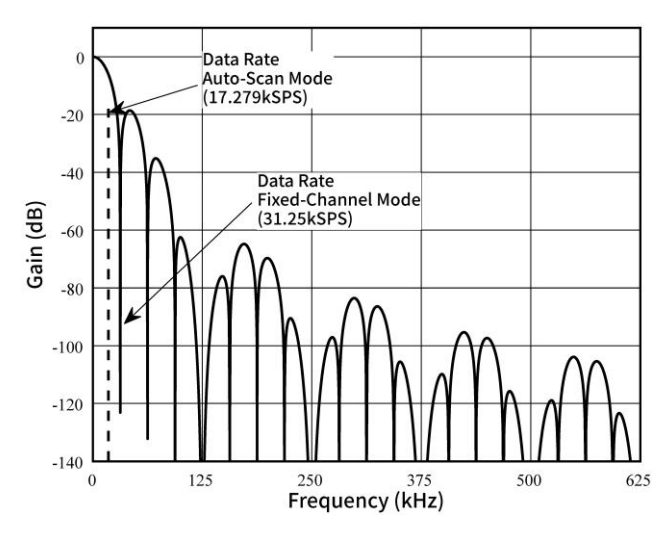


图 34 频率响应, DRATE[1:0] = 10

混叠

数字滤波器的频响特性在频谱上是周期性呈现的,相邻两个频响特性之间频率间隔为f_{CLK}/4(调制器速率)。图35显示了在125kSPS(固定通道模式)的数据速率下绘制到8MHz的响应。注意DC、4MHz和8MHz附近的频率响应是相同的。数字滤波器会衰减GYC1258输入信号中低于f_{CLK}/4的高频噪声。然而,输入信号中频率高于f_{CLK}/4的噪声会被混叠到ADC通带内。对于大多数应用,建议使用抗混叠滤波器来去除噪声。极点为100kHz的简单一阶输入滤波器在f_{CLK}/4频率处提供-34dB的抑制。

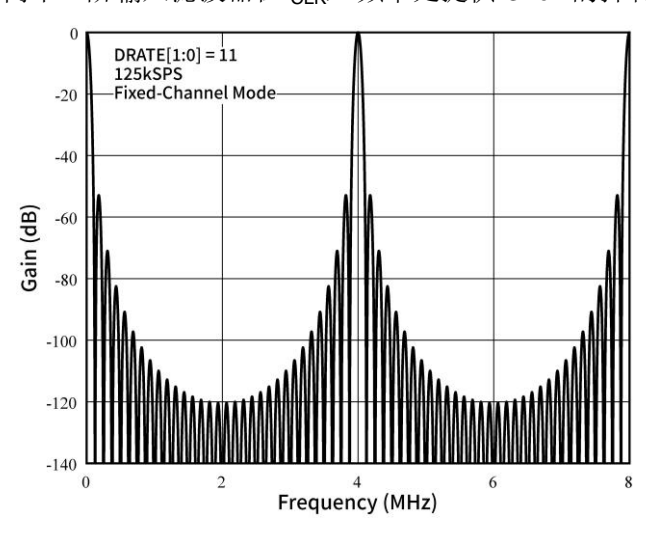


图 35 频率响应输出为 8MHz

参考图33和图34,模拟输入中高于奈奎斯特带宽(采样率/2)的频率量首先被数字滤波器衰减,然后混叠到通带中。

输出数据建立时间

对于稳定的输入信号,转换开始后的第一个输出即是稳定的。当出现阶跃输入的时候,建立时间会不同。图36和图37给出了出现阶跃输入时转换器的响应结果。在大多数工作模式下,模拟输入必须经过一个完整的转换周期才能提供稳定的数据。在固定通道模式并且DRATE[1:0] = 11下,输入必须在经过四个完整转换周期后才能提供稳定的数据。

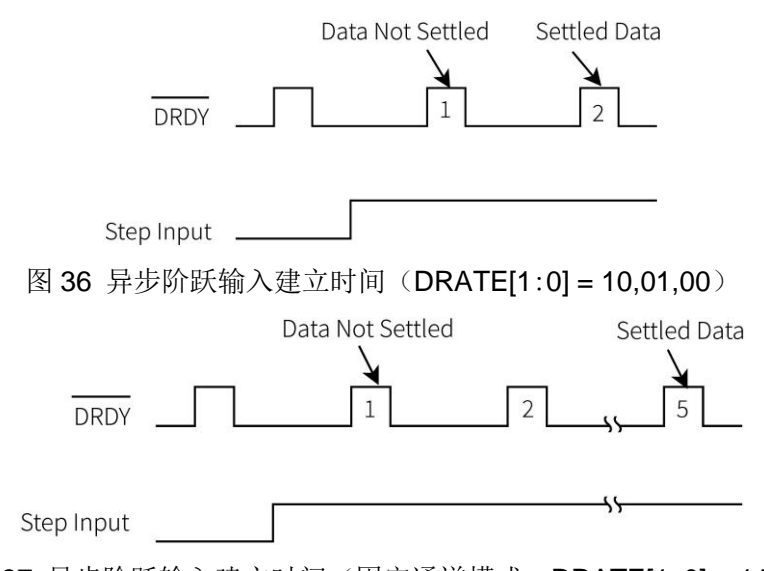


图 37 异步阶跃输入建立时间(固定通道模式, DRATE[1:0] = 11)

噪声性能

GYC1258提供优异的噪声性能,并且可以通过调整数据速率使其进一步优化。降低数据速率可以增大平均次数,因此噪声会相应的降低。对于输入参考噪声、无噪声分辨率和ENOB请参考表6。通过使用外部增益级,可以显著提高小幅信号的噪声性能。注意,当Chop = 1时,数据速率减少2倍,噪声减少1.4倍。

ENOB的定义见如下公式[4]:

$$ENOB = \frac{In(FSR/Noise_RMS)}{In(2)}$$
 [4]

FSR是满量程范围。

当使用峰峰值噪声时,可以得到无噪声分辨率,计算公式与公式[4]一致。

如图8所示,转换器噪声相对于基准电压是恒定的。转换器的最佳信噪比是通过使用更高的基准电压 ($V_{REF\;MAX} = AV_{DD} - AV_{SS}$)来实现的。

DRATE[1:0]	扫描模式数据速率 (SPS)	固定通道模式数 据速率(SPS)	输入参考噪声 (μV _{RMS})	无噪声分辨率 (Bits)	ENOB
11	29520	125000	12	16.8	19.5
10	17279	31250	7.9	17.4	20.1
01	6499	7813	4.5	18.2	20.9
00	1859	1953	2.8	18.9	21.6

表 6 噪声性能[1]

注[1]: V_{REF} = 4.096V,f_{CLK} = 16MHz,Chop = 0,Delay = 0,Inputs shorted and 2048 sample size。 传感器

GYC1258内部集成了电流源,可以用于偏置外部传感器,或者用于外部传感器的开路检测。

传感器偏置

图38给出了GYC1258传感器应用的等效示意图,其中两个输入管脚之间的 R_s 电阻作为外部传感器的等效模型。两个串联的 80Ω 电阻(RMUX)为芯片内部等效阻抗,RL表示ADC等效输入阻抗(或外部缓冲器的等效阻抗)。当启用传感器偏置时, I_{SDC} 从连接到MUXOUTP的通道流出,从连接到MUXOUTN的通道流入。测量到的信号即为总的IR压降: I_{SDC} [($2Rmux + R_s$) || RL]。当传感器短路时,GYC1258还会测版本:V1.1

量到一个小的电压: I_{SDC} [2Rmux || RL]。

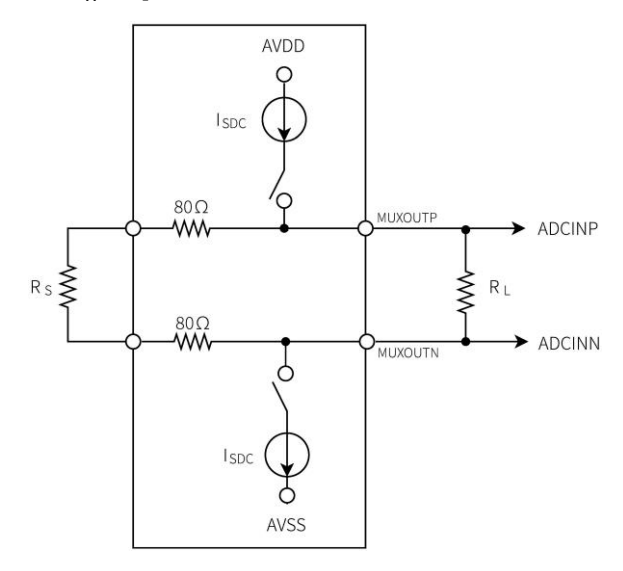


图 38 传感器等效示意图

需要注意的是,内部电流源只会连接到被选中的通道,这种配置意味着,当选择新通道时,电流源需要对传感器的寄生电容充电,这样会拖慢传感器电压的建立时间。此种情况下,可以通过自动切换时间延迟以功能来增加适当的时间延迟(见自动扫描模式中的开关延时部分)。

对外部电容充满电所需要的时间见如下公式[5]:

$$\frac{dV}{dt} = \frac{I_{SDC}}{C}$$
 [5]

同样需要注意的是,ADC输入端的低阻抗(65kΩ)或外部信号调理电路会成为电流源的负载。这种 低阻抗限制了电流源将输入拉到正满量程以进行开路检测的能力。

传感器开路检测

为了实现传感器开路检测,需要设置偏置电流为1.5μA或24μA,然后读取选定通道的ADC码值。当传感器开路时,ADC正输入端电压被拉到AV_{DD},负输入端被拉到AV_{SS},因此输出码值趋向于正满量程。需要注意的是,电流持续流过MUX可能降低转换器的线性度。建议电流源周期性进行开路检测,以减缓因此带来的转换器线性度的恶化。

温度传感器

电流源可用于偏置外部二极管以进行温度检测。在电流源设置为24μA的情况下扫描适当的通道,在电流源设置为1.5μA的情况下,重新扫描相同的通道。两个偏置电流导致的二极管电压读数的差异与温度成正比。

需要注意的是,两个偏置电流比例的误差、二极管和线缆电阻,以及二极管的非理想特性都会影响温度检测的准确度,这可以通过在特定温度下校准来进行补偿。

SPI

GYC1258通过SPI串行接口进行寄存器读写,发送指令,数据读取操作。接口由四个信号组成: CS、SCLK、DIN和DOUT。

CS用于选择串行通信设备。CS低电平为有效状态,当CS为高电平时,正在进行的读取或写入命令被

中止,串行接口被复位。此外,DOUT和DIN上的数据都被忽略。DRDY表示数据准备就绪,与CS的状态 无关。

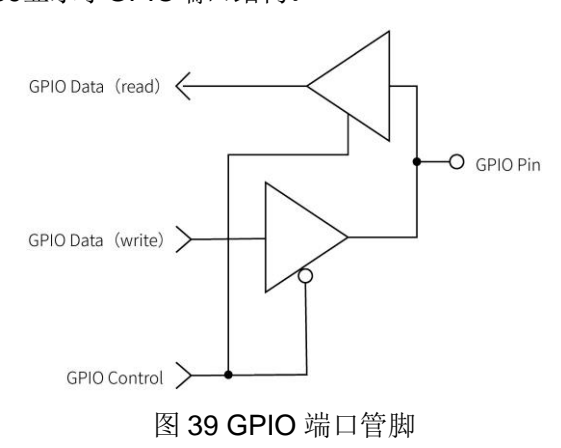
串行时钟(SCLK)用于将数据输入(DIN)和输出(DOUT)到GYC1258。该输入是具有高度抗噪声性的施密特触发器输入。数据在SCLK的上升沿被移入DIN,在SCLK的下降沿被移出DOUT。如果SCLK在4096或256个f_{CLK}周期(寄存器CONFIG0的SPIRST位配置)内保持为无效状态,正在进行的读取或写入操作将终止,SPI接口将被复位。

GYC1258可以连接到共享SPI总线。当CS被取消选择(高)时DOUT为三态。共享总线时,只能通过通道数据读取命令(DR)读取数据,无法使用数据直读(DRD)命令。

GP10

GYC1258有8个GPIO专用管脚。通过配置寄存器GPIOC可以独立配置每个管脚为输入或输出。管脚电压值由数据寄存器GPIOD控制。当管脚配置为输入时,对GPIOD对应位写操作无效。

GPIO管脚在上电后或复位后被设置为输入,注意不能让输入的GPIO浮空。在待机和断电模式下,GPIO仍然保持有效状态。图39显示了GPIO端口结构。



功能和模式

上电时序

当给设备通电或将PWDN管脚设置为高电平以唤醒设备时,需要一段唤醒时间才能读取读数。

当使用内部振荡器时,如果是使用PWDN管脚唤醒,唤醒时间由振荡器启动时间和PLL锁定时间组成;如果是电源上电,则以上时间基础上还要再增加2¹⁸f_{CLK}周期。请注意,CLKIO在唤醒期间无效,如图40所示。

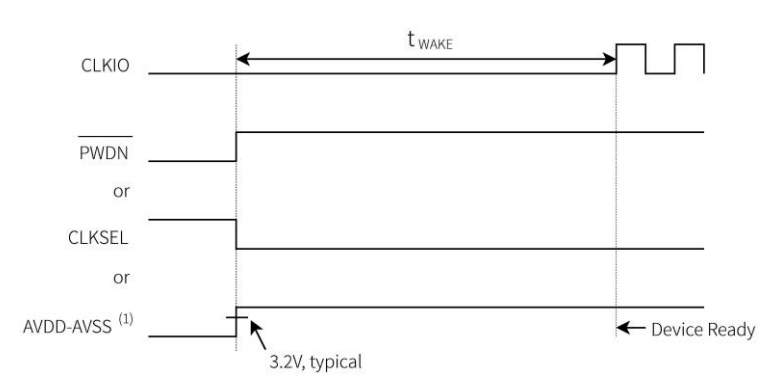


图 40 采用内部振荡器的唤醒时间

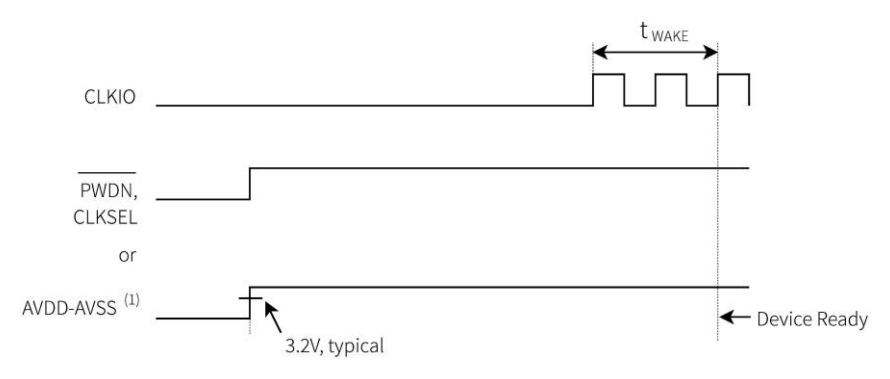


图 41 采用外部时钟的唤醒时间

表7 总结了使用内部振荡器和外部时钟操作的唤醒时间。

表7 唤醒时间

条件	twake内部振荡器 ^[1]	twake外部时钟
PWDN or CLKSEL	tosc	2/f _{CLK}
AV _{DD} – AV _{SS}	$t_{OSC} + 2^{18}/f_{CLK}$	2 ¹⁸ /f _{CLK}

注[1]:唤醒时间为典型值,根据不同晶体特性和电容布局等会有所变化。

工作模式

GYC1258有三种工作模式:转换模式、空闲模式和断电模式。在转换模式下,芯片正常转换通道输入,芯片功耗最高。此模式分为两个子模式:自动扫描模式和固定通道模式。

空闲模式下,设备不转换通道数据,但保持活动状态,等待输入以启动转换。与转换模式相比,功耗 有所降低。此模式也有两个子模式: 待机和休眠。

断电模式下, 转换器的所有功能都被禁用, 功耗降至最低。

转换模式

GYC1258有两种转换模式:自动扫描模式和固定通道模式。在自动扫描模式下,需要在地址寄存器预先设置要测量的通道。当转换开始时,转换器根据触发条件以连续循环或脉冲的方式自动依次测量通道输入。

固定通道模式下,在获取通道数据之前,需要在地址寄存器设置待转换的通道地址。当转换开始时, 芯片根据触发条件以连续或脉冲方式转换选定的通道。此模式下的数据速率高于自动扫描模式,因为不需 要每次转换前对输入通道进行切换。

转换模式通过寄存器CONFIG0的MUXMOD位来配置。

自动扫描模式

GYC1258有16个模拟输入通道,可以组合为8组差分输入或16个单端输入,还有额外的5个内部系统测量信号。这些加在一起,该芯片总共允许最多29种可能的输入组合。转换器在START管脚或启动转换命令的控制下,以连续循环或脉冲方式自动扫描和测量所选通道。在寄存器MUXDIF、MUXSG0、MUXSG1、和SYSRED中配置要测量的通道,对任何寄存器的写入命令都会将内部通道指针重置为最高优先级通道,如表12所示。在ADC转换过程中,禁止配置上述寄存器。只有当START管脚为低电平,且ADC停止转换时才允许配置。

开关延时

当GYC1258工作在自动扫描模式下,转换器会自动的从当前通道切换到下一个通道,如果芯片工作在外部回路(BYPAS = 1)模式,且外部调理电路没有在开关切换后完全建立,则数据可能不正确。

GYC1258提供了一种开关时间延迟功能,该功能在通道切换后自动产生延迟,确保足够的建立时间。 所需延迟时间主要取决于外部信号调理电路的稳定时间,此外还需要考虑通道切换时造成的输入源波动稳 定下来所需的时间。

表8列出了不同时间延迟与时间常数之比(t/T)对应的数据最终建立情况(以百分比和位数表示)。 表8 建立时间

t/T	最终稳定(%)	最终稳定(Bits)
1	63	2
3	95	5
5	99.3	7
7	99.9	10
10	99.995	14
15	99.9999	20
17	99.999994	24

开关切换延迟寄存器的使用降低了有效通道数据速率。表**9**显示了当使用开关切换延迟功能时从公式**[1]** 导出的实际数据速率。

当使用脉冲转换时,通道的切换来自于外部START管脚的脉冲或者是转换命令,此时软件的适当设计就可以保证通道切换后有足够的时间延迟。但是在Chop = 1的情况下,因为对同一个通道信号需要进行开关切换操作,仍然会存在开关切换之后的延迟,此时同样需要考虑开关延迟设置。

时间延迟 时间延迟 DLY[2:0] DRATE[1:0] = 11 DRATE[1:0] = 10 DRATE[1:0] = 01 DRATE[1:0] = 00(128/f_{CLK}) (µs)

表9 开关延时下的有效数据速率(自动扫描模式)

固定通道模式

在该模式下,16个模拟输入通道(AIN0-AIN15)中的任何一个均可选择连接至ADC正输入端,任何模拟输入通道均可选择连接至ADC负输入端。在转换不同的通道之前,MUXSCH寄存器必须选择新的通道配置。请注意,在此模式下,MUXDIF、MUXSG0、MUXSG1、SYSRED寄存器配置都无效,系统自检功能无法使用。

空闲模式

当START管脚为低电平时,ADC完成当前通道的转换之后,进入空闲模式。空闲模式又可分为待机模式和休眠模式两种,通过CONFIG1和IDLEMOD寄存器进行配置。在待机模式下,芯片内部功耗会减小,当重新进入转换状态时需要的唤醒时间较少。在休眠模式下,芯片功耗会进一步减少,但重新进入转换模式时需要的唤醒时间较长(见表10)。

断电模式

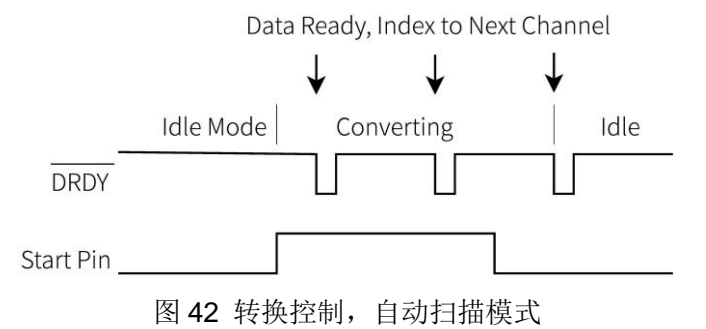
在断电模式下,模拟和数字电路都被完全禁用。PWDN管脚用于控制转换器的断电模式。在断电模式下,所有内部电路都被停用,包括振荡器和时钟输出。将PWDN保持在低电平至少两个f_{CLK}周期,即可进入断电模式。寄存器设置在断电期间保留不变。当管脚切换到高电平时,转换器需要足够的唤醒时间,才能正常进行转换,参考上电时序部分。请注意,在断电模式下,GYC1258的输入不能浮空。

转换控制

GYC1258的转换由START管脚控制。当START管脚变高时,转换开始,当START管脚为低时,转换停止。对于连续转换,请将START管脚维持在高电平。转换也可以由脉冲转换命令控制。每发送一个脉冲转换命令则转换一个通道。通过这种方式,通道转换可以逐步进行,而无需切换START管脚。

START 管脚

如图42所示,当START管脚变高时,芯片连续循环转换所有预先设定的通道,直到START管脚变低,转换过程完成,设备进入待机或休眠模式,等待新的启动条件。当DRDY为低时,转换数据准备就绪。图44显示了START管脚和DRDY时序。在表11中描述了通道数据被转换的顺序。当编程列表中最后一个选择的通道已经转换时,设备从最高优先级的通道开始继续转换。如果在自动扫描模式下只选择了一个通道,则转换器保持在该通道循环完成转换。对任何寄存器的写入操作都会将通道指针重置为最高优先级的通道(见表12)。在"固定通道"模式下,通道指针保持不变。



START管脚可以通过软件直接控制,方法是从外部将GPIO端口管脚连接到START管脚。建议使用外部下拉电阻器来防止GPIO浮空。这样就可以通过SPI接口写入GPIO数据寄存器(GPIOD)来有效控制 START管脚。

脉冲转换

脉冲转换可以通过START管脚实现,也可以通过脉冲转换命令(PC)实现。使用START管脚时,在转换周期完成之前变为低电平,则在转换完当前通道后芯片进入待机或休眠模式,等待新的启动条件,如图43所示。图44显示了START管脚和DRDY时序。使用脉冲转换命令发起转换时,START管脚维持低电

平,每个脉冲转换命令转换来自一个通道的数据。当命令字节完全移入(SCLK的第八个下降沿)时,脉冲转换命令生效。转换完成后,如果启用了多个通道(自动扫描模式),转换器会将地址指针指向下一个选定的通道。

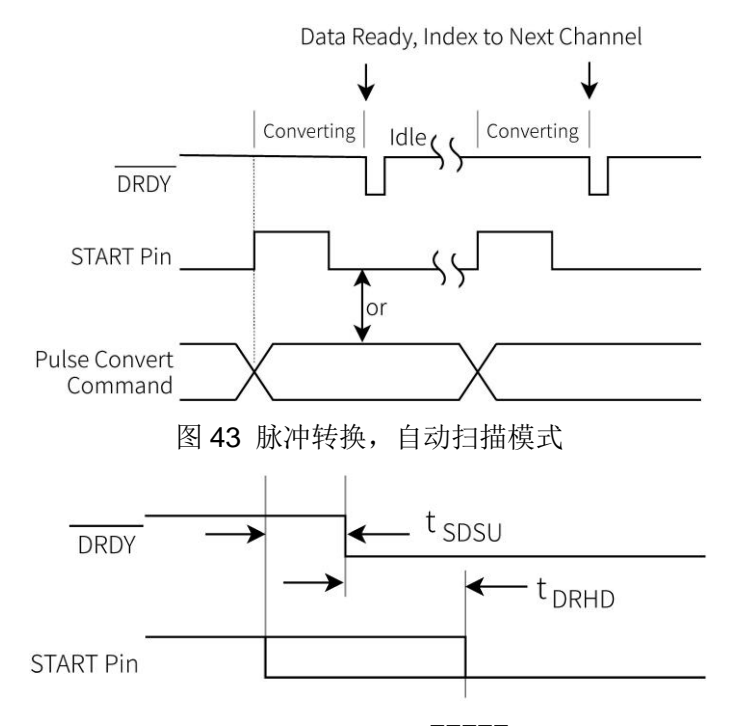


图 44 START 管脚和DRDY时序

SYMBOL	描述	最小值	单位
t _{SDSU}	完成最后一次转换,START信号 ————————————————————————————————————	8	T _{CLK}
t _{DRHD}	完成当前转换DRDY信号到 START的保持时间	8	T _{CLK}

初始延时

如图45所示,当出现启动转换条件时,GYC1258的第一次读取将延迟数个时钟周期。这种延迟是为了提供足够的建立时间,以确保第一次读数时就有完全稳定的数据。此后的数据读取是全数据速率的。第一次读取延迟的时钟周期数取决于数据速率设置,以及转换启动之前是待机模式还是休眠模式。表10列出了延迟的时钟周期与数据速率的关系。

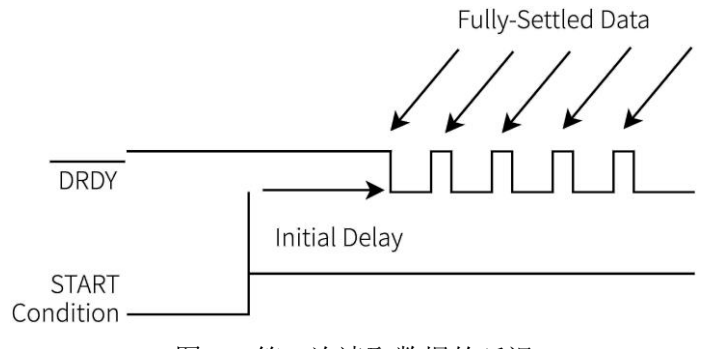


图 45 第一次读取数据的延迟

表 10 DRDY启动时的延迟, Chop = 0, DLY[2:0] = 000

DDATE(4.01	待机模式初始延迟	付(f _{CLK} 周期数)	休眠模式初始延时(f _{CLK} 周期数)		
DRATE[1:0]	固定通道	自动扫描	固定通道	自动扫描	
11	668	667	732	731	
10	1051	1051	1116	1116	
01	2587	2587	2651	2652	
00	8731	8732	8796	8800	

系统自检

电源检测

GYC1258的模拟电源电压可以通过读取 V_{CC} 寄存器来监控。电源电压在芯片内部进行缩放后,用内部基准进行测量。无论单极性配置还是双极性配置,转换的是 AV_{DD} 和 AV_{SS} 之差。请注意,在使用该功能之前,需要禁用斩波(CHOP=0)。

按照如下公式[6]将输出码字值转换为电压:

总模拟电源电压 =
$$\frac{输出码字}{786432 \times 2}$$
 [6]

当电源电压降至规定的最低工作电压以下时,GYC1258无法保证正确工作。当模拟电源电压降至约4.3V以下时,状态字节中的SUPPLY位会被置高,电源电压拉高后SUPPLY位会重新置低。SUPPLY位置高与置低判定点的滞回电压大约为50mV。

增益检测

在该配置中,外部基准既连接到ADC的模拟输入端,又连接到ADC基准输入端。GAIN寄存器中可以得到芯片的增益信息。

按照如下公式[7]将输出码字值转换为芯片增益:

设备增益
$$(V/V) = \frac{输出码字}{7864320}$$
 [7]

为了校正增益误差,用户软件可以将每个转换器数据值除以增益。注意,这仅校正源自ADC内的增益误差;由于外部增益级误差或由于基准误差引起的系统增益误差不被补偿。请注意,在读取该通道数据前,还需要禁用斩波(CHOP=0)。

基准电压检测

在该配置中,会采用内部基准对外部基准进行测量。REF寄存器的数据表示外部基准电压的大小。 按照如下公式[8]将输出码字值转换为外部基准电压:

外部基准(V) =
$$\frac{输出码字}{786432 \times 2}$$
 [8]

如果基准输入管脚是浮空的(未连接),则内部偏置将它们拉至AV_{SS}。这会导致输出码字偏向于"0"。连接到外部基准管脚的旁路电容在上电时需要建立时间,因此在检测时请验证基准是否已稳定,以确保读数准确。请注意,在读取该通道数据前,需要禁用斩波(CHOP = 0)。

温度检测

GYC1258包含一个片上温度传感器。该传感器使用两个内部二极管,其中一个二极管的电流密度为另

一个的16倍。两个二极管产生的差分电压与绝对温度成比例。

由于封装对印刷电路板(PCB)的热阻较低,因此芯片温度基本上会跟随PCB的温度。但是需要注意的是,GYC1258的自发热会导致比周围PCB的温度更高。请注意,在读取该通道数据前,需要禁用斩波(CHOP = 0)。

按照如下公式[9]将温度读数转换为℃。注意温度读数输出码字需要首先换算到µV。

温度(°C) =
$$\left(\frac{温度回读(\mu V) - 142000\mu V}{温度传感器系数}\right) + 25°C$$
 [9]

温度传感器系数 = 441µV/°C

失调检测

在该配置中,多路选择器的差分输出短路在一起,并设置为共模电压(AV_{DD} – AVSS)÷2。理想情况下,OFFSET寄存器读回的值为0h,但由于ADC的噪声以及源自ADC和外部调理电路的失调而使得读回的值产生变化。ADC的斩波特性可以自动去除信号中的失调和失调漂移,具体请参考调制器。

诵信接口

通道数据格式

数据读取操作可以输出4个字节(1个状态字节,3个数据字节),也可以仅输出3个数据字节,由寄存器CONFIG0中的位STAT设置(有关选项,请参阅表16状态字节)。数据读取时MSB(Data23)首先被移出。

BYTE BIT7 BIT4 BIT3 BIT6 BIT5 BIT2 BIT1 BIT0 **STATUS** SUPPLY CHID4 1 NEW **OVF** CHID3 CHID2 CHID1 CHID0 2 **MSB** Data23 Data22 Data21 Data20 Data19 Data18 Data17 Data16 3 MSB-1 Data15 Data14 Data13 Data12 Data11 Data10 Data9 Data8 4 LSB Data5 Data4 Data7 Data6 Data3 Data2 Data1 Data0

表 11 通道数据格式

状态字节 (STATUS)

NEW

当新的转换完成时,NEW位置高。该位一直保持有效,直到该通道数据被读走为止。如果在下一次转换更新之前未读取通道数据,则上一次转换的数据将丢失。如图46所示用户以比转换器的数据速率更快的速率读取数据,就可以用NEW位模拟DRDY输出管脚的行为,这样就可以用NEW位来检测新的通道数据。

- 0 = 自上次读取操作以来,尚未更新通道数据。
- 1 = 自上次读取操作以来,通道数据已更新。

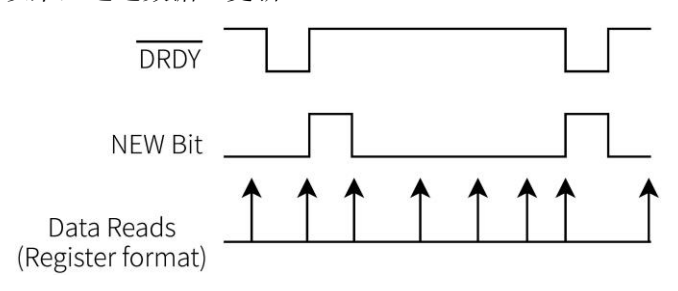


图 46 NEW 位运行模式

0VF

当该位被置高时,表示施加到ADC输入的差分电压已经超过转换器的范围 $|V_{IN}| > 1.067V_{REF}$ 。在超过范围期间,转换器的输出码字将被限制为+FS($V_{IN} \ge 1.067 \times V_{REF}$)或-FS($V_{IN} \le -1.067 \times V_{REF}$)。请注意,由于数字滤波器中的平均效果,该位无法检测到输入短瞬过载的情况。

SUPPLY

此位表示模拟电源电压(AV_{DD} – AV_{SS})低于预设限制。当电源电压下降到4.3V以下(典型值)时SUPPLY置高,当电源电压上升到比上述置位点电压高50mV(典型值)时SUPPLY重新复位。ADC的输出数据在低电源输入条件下可能无效。

CHID[4:0]

CHID指示所获取的数据对应的测量通道。请注意,对于固定通道模式,CHID位是无效的。各通道对应的CHID以及测量优先级见表12。

表 12 通道 ID 和测量优先级(自动扫描模式)

BITS CHID[4:0]	优先级	通道	描述				
00h	1(最高级)	DIFF0(AIN0-AIN1)	Differential 0				
01h	2	DIFF1(AIN2-AIN3)	Differential 1				
02h	3	DIFF2(AIN4-AIN5)	Differential 2				
03h	4	DIFF3(AIN6-AIN7)	Differential 3				
04h	5	DIFF4(AIN8-AIN9)	Differential 4				
05h	6	DIFF5(AIN10-AIN11)	Differential 5				
06h	7	DIFF6(AIN12-AIN13)	Differential 6				
07h	8	DIFF7(AIN14-AIN15)	Differential 7				
08h	9	AIN0	Single-Ended 0				
09h	10	AIN1	Single-Ended 1				
0Ah	11	AIN2	Single-Ended 2				
0Bh	12	AIN3	Single-Ended 3				
0Ch	13	AIN4	Single-Ended 4				
0Dh	14	AIN5	Single-Ended 5				
0Eh	15	AIN6	Single-Ended 6				
0Fh	16	AIN7	Single-Ended 7				
10h	17	AIN8	Single-Ended 8				
11h	18	AIN9	Single-Ended 9				
12h	19	AIN10	Single-Ended 10				
13h	20	AIN11	Single-Ended 11				
14h	21	AIN12	Single-Ended 12				
15h	22	AIN13	Single-Ended 13				
16h	23	AIN14	Single-Ended 14				
17h	24	AIN15	Single-Ended 15				
18h	25	OFFSET	OFFSET				
1Ah	26	Vcc	AV _{DD} – AV _{SS} Supplies				

BITS CHID[4:0] 优先级		通道	描述
1Bh	27	TEMP	Temperature
1Ch	28	GAIN	Gain
1Dh	29 (最低级)	REF	External Reference

数据字节(MSB, MSB-1, LSB)

DATA[23:0]

ADC的输出数据宽度是24位(DATA[23:0])。DATA23是最高有效位MSB, DATA0是最低有效位LSB。数据是二进制的补码格式编码。

操作命令

命令用于读取通道数据、访问配置寄存器和控制转换过程。如果命令是寄存器读写操作,则命令字节后面会有一个或多个数据字节。如果命令字节中的位MUL = 1,则可以在一个命令操作中读写多个寄存器(请参阅MUL位)。命令可以背靠背发送,无需切换CS;但是,在发送数据直读命令(DRD)之后,必须切换CS,或者让SPI超时来进行复位,才能重新发送其他命令。普通的读取数据命令之后不需要切换CS。命令字节由三个字段组成:命令位(C[2:0])、多寄存器访问位(MUL)和寄存器地址位(A[3:0]);

表 13 命令字节

7	6	5	4	3	2	1	0
C2	C1	C0	MUL	A3	A2	A1	A0

C[2:0]

请参阅表13。

支持的命令编码见下表所示

C[2:0]	描述	说明
000	通道数据直读(DRD)	发送其它命令前切换CS或使SPI超时
001	通道数据读取(DR)	设置MUL = 1;状态字节总是包含在数据中
010	读寄存器(RR)	A[3:0] = '0000'
011	写寄存器(RW)	-
100	脉冲转换(PC)	MUL,A[3:0]忽略
101	保留	-
110	复位(RST)	MUL,A[3:0]忽略
111	通道数据直读(DRD)	发送其它命令前切换CS或使SPI超时

MUL

设置此位允许在单个命令操作中读写多个寄存器。读写操作从当前指定的寄存器开始,GYC1258会自动递增地址来完成随后寄存器的读写操作。在完成地址 = 09h的寄存器(设备ID寄存器)读写后,本次操作终止。

- 0 = 禁止多寄存器访问
- 1 = 允许多寄存器访问

多寄存器访问还可以通过以下两种方式提前终止:

- 1) 用户CS置高。此操作将重置SPI接口。
- 2) 用户将SCLK保持为无效状态达4096个fcLK周期。此操作将重置SPI接口。

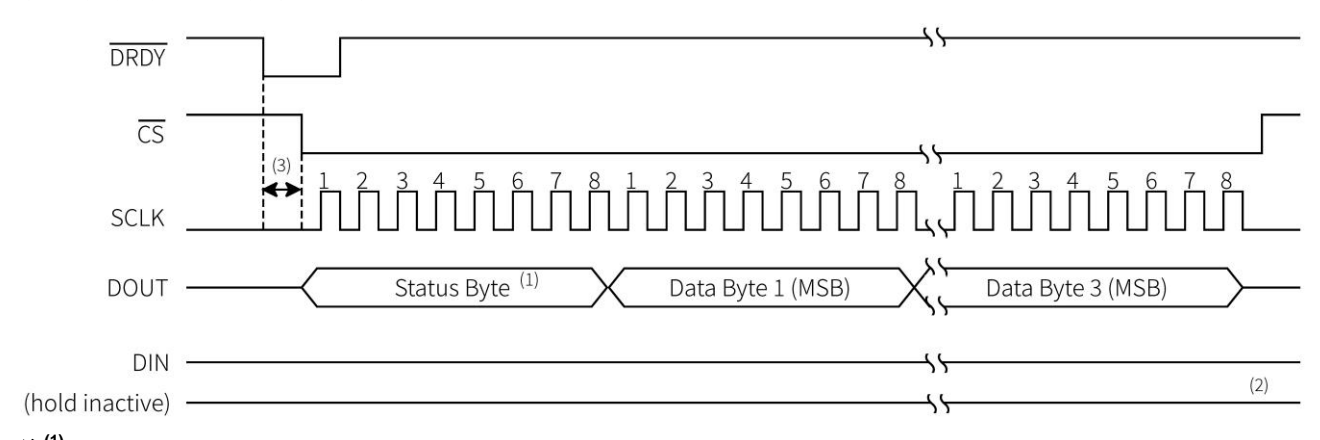
A[3:0]

可访问寄存器地址见表14。

通道数据直读(DRD)

当GYC1258检测到DIN管脚输入的前三位是000或111时,进入数据直读模式,命令字节的其他位均无效,DOUT管脚同步输出通道数据。进入直读模式后,其他命令将无法响应,直到CS拉高、或者SPI超时对接口重置。

如图47所示,通道数据总共是3字节或是4字节,这取决于STATUS字节是否被启用,因此需要24或32个SCLK完成DOUT管脚上的数据推送。数据必须在下次DRDY拉低之前完成读取操作,否则剩余数据将会被新的转换数据覆盖,因此最好与DRDY同步进行数据读取,以避免数据损坏。在同一DRDY帧内第二次读取数据将返回上次读取的值。



注⁽¹⁾: Optional for Auto-Scan mode, disabled for Fixed-Channel mode, See Status Byte;

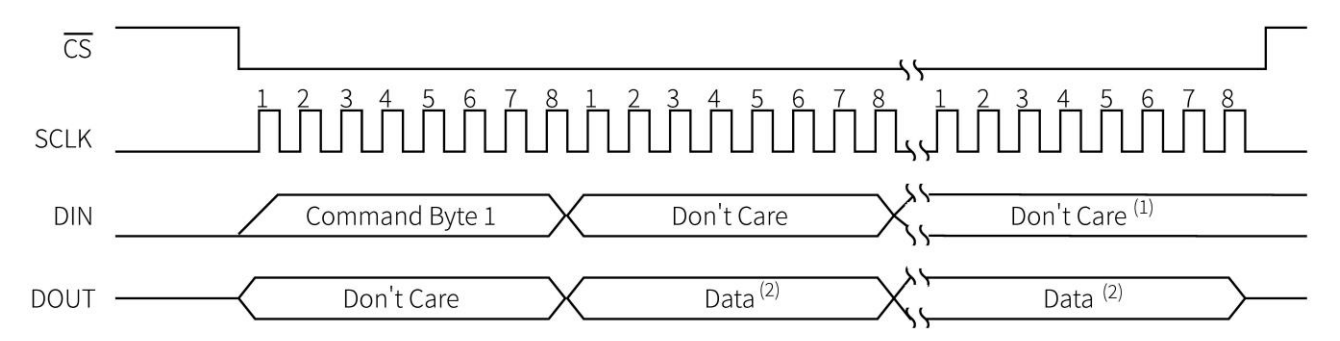
注⁽²⁾: After the channel data read operation, cs must be toggled or an SPI timeout must occur before sending commands;

注⁽³⁾: No SCLK activity.

图 47 数据直读 (DRD)

通道数据读取(DR)

命令字节的C[2:0] = 001表明是通道数据读取(DR)命令,该命令需要完成多个字节读取,因此MUL位必须置高,命令字节的其余位设置无效。发送命令字节期间,DOUT输出的任何数据无效。从第八个SCLK下降沿开始(命令字节完成),通道数据的MSB在DOUT上开始输出,用户在随后SCLK的上升沿完成对数据读取。在DR命令下读取的通道数据一定是4个字节,包括1个状态字节和3个数据字节,因此DR命令总共需要40个SCLK来完成整个数据读取操作。与数据直读(DRD)命令不同,读取数据时DRDY拉低不会损坏数据,如图48所示。



- 注⁽¹⁾: After the prescribed number of registers are read, then one or more additional commands can be issued in succession;
- 注⁽²⁾: Four bytes for channel data register read, See Status Byte, One or more bytes for register data read, depending on MUL bit.

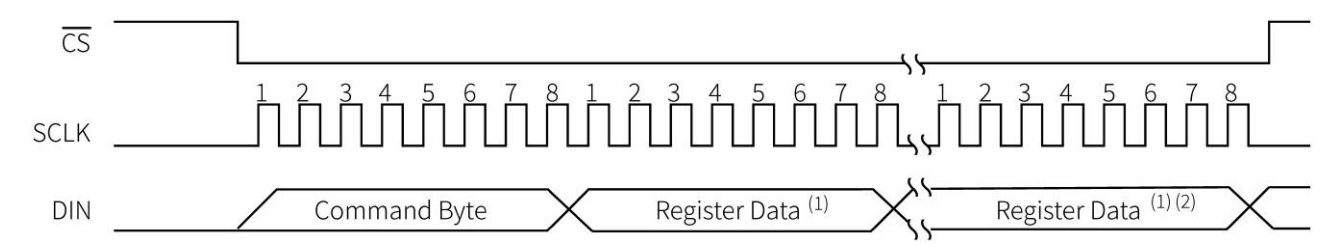
图 48 寄存器读(RR)和通道数据读取(DR)

寄存器读(RR)

命令字节的C[2:0] = 010表明是寄存器读(RR)命令。如果MUL="1",则可以按顺序读取A[3:0] 指定地址位开始的多个寄存器。如果MUL="0",则只能读取指定寄存器中的数据。命令字节期间DOUT 上的数据无效。从SCLK的第八个下降沿开始(命令字节完成),寄存器数据的MSB在DOUT上输出。随后SCLK的上升沿完成对一个或多个寄存器的数据读取。对于MUL="1"多字节读取情况,在完成地址=09h的寄存器(设备ID寄存器)读取后,操作终止;见图48。

寄存器写(RW)

命令字节的C[2:0] = 011表明是寄存器写(RW)命令。如果MUL = "1",则可以按顺序写入A[3:0] 指定地址开始的多个寄存器。如果MUL = "0",则只能将数据写入指定寄存器。命令字节期间DOUT上的数据无效。从第八个SCLK上升沿(命令字节完成)开始,数据的MSB被移入。随后SCLK的上升沿完成对一个或多个寄存器的数据写入。对于MUL = "1"多字节写入情况,在完成地址 = 09h的寄存器(设备ID寄存器)写入后,操作终止,如图49所示。



- 注⁽¹⁾: One or more bytes depending on MUL bit;
- 注⁽²⁾: After the prescribed number of registers are read, then one or more additional commands can be issued in succession.

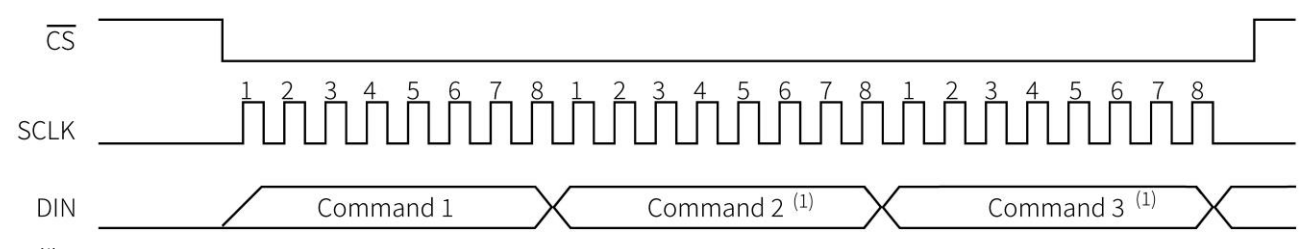
图 49 寄存器写(RW)

脉冲转换 (PC)

命令字节的**C**[2:0] = 100表明是脉冲转换(**PC**)命令,该命令下命令字节的其他位无效。其他内容参考转换控制部分。

复位(RST)

命令字节的**C**[2:0] = 110表明是复位(RST)命令。执行复位命令后,所有寄存器被复位到默认值, 正在进行的转换不会被打断,但此次转换完成后的数据无效。 为了确保芯片SPI接口在可能锁死条件下成功执行复位操作,尝试以下两种方法: 1) CS置高后再置低,然后发送复位命令;或2)保持SCLK无效状态256个f_{CLK}周期或4096个f_{CLK}周期,然后发送复位命令。脉冲转换(PC)和复位(RST)都是单字节命令,操作如图50所示。



注 $^{(1)}$: One or more commands can be issued in succession.

图 50 控制指令操作

寄存器

表 14 寄存器表

ADDR. A[3:0]	NAME	DEFAULT VALUE	ВІТ7	ВІТ6	ВІТ5	BIT4	ВІТ3	BIT2	BIT1	ВІТ0
00h	CONFIG0	0Ah	0	SPIRST	MUXMOD	BYPAS	CLKENB	CHOP	STAT	0
01h	CONFIG1	83h	IDLMOD	DLY2	DLY1	DLY0	SBCS1	SBCS0	DRATE1	DRATE0
02h	MUXSCH	00h	AINP3	AINP2	AINP1	AINP0	AINN3	AINN2	AINN1	AINN0
03h	MUXDIF	00h	DIFF7	DIFF6	DIFF5	DIFF4	DIFF3	DIFF2	DIFF1	DIFF0
04h	MUXSG0	FFh	AIN7	AIN6	AIN5	AIN4	AIN3	AIN2	AIN1	AIN0
05h	MUXSG1	FFh	AIN15	AIN14	AIN13	AIN12	AIN11	AIN10	AIN9	AIN8
06h	SYSRED	00h	0	0	REF	GAIN	TEMP	Vcc	0	OFFSET
07h	GPIOC	FFh	CIO7	CIO6	CIO5	CIO4	CIO3	CIO2	CIO1	CIO0
08h	GPIOD	00h	DIO7	DIO6	DIO5	DIO4	DIO3	DIO2	DIO1	DIO0
09h	ID	8Bh	ID7	ID6	ID5	ID4	ID3	ID2	ID1	ID0

CONFIGO (地址 = 00h)

表 15 CONFIG0 (地址 = 00h)

BIT7	BIT6	BIT5	BIT4	BIT3	BIT2	BIT1	BIT0
0	SPIRST	MUXMOD	BYPAS	CLKENB	CHOP	STAT	0

默认值 = 0Ah。

SPIRST

此位设置SPI接口被复位的判定时间,同时也相当于设置了读写操作时SCLK的频率下限。SPI接口被复位之后,即可接收新的命令。

- 0 = SCLK在4096 f_{CLK} 周期(256 μ s, $f_{CLK} = 16MHz$)处于无效状态后复位(默认值)。
- 1 = SCLK在256 f_{CLK} 周期(16μs, $f_{CLK} = 16MHz$)处于无效状态后复位。

MUXMOD

此位设置自动扫描或固定通道操作模式。

- 0 = 自动扫描模式(默认)。
- 1 = 固定通道模式。

BYPAS

该位选择从多路选择器的内部或外部将信号输入到ADC。

- 0 = 多路选择器从内部直接输入到ADC(默认)。
- 1 = 多路选择器输出到外部后经由ADCINP和ADCINN输入到ADC。

请注意,无论BYPAS设置如何,温度、V_{CC}、增益和基准这些系统自检读数都会自动使用内部连接,只有失调读数使用BYPAS的设置。

CLKENB

该位配置内部时钟是否输出到CLKIO管脚。时钟输出源于设备晶体振荡器和PLL电路。

- 0 = 内部时钟不输出到CLKIO。
- 1 = 内部时钟输出到CLKIO(默认)。
- 注:如果CLKSEL管脚设置为"1",则CLKIO管脚仅为时钟输入。在这种情况下,设置此位无效。

CHOP

此位设置是否启用外部斩波功能。

- 0 = 斩波禁用(默认)。
- 1 = 斩波已启用。

注意,对于内部系统读数(温度、V_{CC}、增益和基准),CHOP位必须为0。

STAT

从GYC1258读取通道数据时,转换数据通常包含一个状态字节。但是,在某些操作模式下,可以禁用状态字节。表16显示了操作模式和数据读取格式。

- 0 = 状态字节已禁用。
- 1 = 状态字节启用(默认值)。

表 16 状态字节

模式	通道数据读取(DR)命令	通道数据直读(DRD)命令
自动扫描	始终启用	由STAT位决定启用或禁用
固定通道	始终启用 (字节未定义)	始终禁用

CONFIG1 (地址 = 01h)

表 17 CONFIG1 (地址 = 01h)

BIT7	BIT6	BIT5	BIT4	BIT3	BIT2	BIT1	BIT0
IDLMOD	DLY2	DLY1	DLY0	SBCS1	SBCS0	DRATE1	DRATE0

默认值 = 83h

IDLMOD

此位配置未转换时进入待机模式还是休眠模式。休眠模式提供较低电源功耗,但重新进入转换模式需要的唤醒时间较长;请参阅空闲模式部分。

- 0 = 选择待机模式。
- 1 = 选择休眠模式(默认)。

DLY[2:0]

该位配置通道切换之后的延迟时间。该值应设置的足够大,以保证通道信号转换之前有足够的建立时间,请参阅自动扫描模式中的开关延时部分。(默认值 = 000)

SBCS[1:0]

该位设置传感器偏置电流源。

- 0 = 传感器偏置电流源关闭(默认值)。
- 1 = 1.5µA 电流源。
- 3 = 24µA 电流源。

DRATE[1:0]

该位设置转换器的数据速率。较慢的数据速率会提高分辨率;见表6。实际数据速率可能要比表中列 出的值更慢,具体取决于开关时间延迟或斩波功能的使用情况。请参阅自动扫描模式中的开关延时部分。 数据速率与主时钟频率成比例。

DRATE[1:0]	自动扫描模式数据速率(SPS)	固定通道模式数据速率(SPS)
11	29520	125000
10	17279	31250
01	6499	7813
00	1859	1953

 $f_{CLK} = 16MHz$, Chop = 0, Delay = 0

MUXSCH (地址 = 02h)

表 18 MUXSCH (地址 = 02h)

BIT7	BIT6	BIT5	BIT4	BIT3	BIT2	BIT1	BIT0
AINP3	AINP2	AINP1	AINP0	AINN3	AINN2	AINN1	AINN0

默认值 = 00h

该寄存器配置固定通道模式下待转换信号所在的通道,寄存器CONFIG0中的MUXMOD位必须设置为"1"。在此模式中,位AINN[3:0]选择ADC的负极模拟输入通道,位AINP[3:0]选择ADC的正极模拟输入通道。请参阅固定通道模式部分。

MUXDIF (地址 = 03h)

表 19 MUXDIF (地址 = 03h)

BIT7	BIT6	BIT5	BIT4	BIT3	BIT2	BIT1	BIT0
DIFF7	DIFF6	DIFF5	DIFF4	DIFF3	DIFF2	DIFF1	DIFF0

默认值 = 00h

该寄存器用于自动扫描模式下差分输入通道(DIFF0···DIFF7)的选择。差分通道的两个输入,固定配置为相邻的两个通道(AIN0/AIN1、AIN2/AIN3等)。对该寄存器的写操作会将内部通道指针重置为优先级最高的通道(见表12)。

- 0 = 通道不进行转换。
- 1 = 待转换通道。

MUXSGO, MUXSG1 (地址 = 04h, 05h)

表 20 MUXSG0 (地址 = 04h)

BIT7	BIT6	BIT5	BIT4	BIT3	BIT2	BIT1	BIT0
AIN7	AIN6	AIN5	AIN4	AIN3	AIN2	AIN1	AIN0

默认值 = FFh

表 21 MUXSG1: 多路选择器单端输入选择寄存器(地址 = 05h)

BIT7	BIT6	BIT5	BIT4	BIT3	BIT2	BIT1	BIT0
AIN15	AIN14	AIN13	AIN12	AIN11	AIN10	AIN9	AIN8

默认值 = FFh

该寄存器用于自动扫描模式下单端输入通道的选择。所有单端输入均相对于AINCOM输入进行测量,AINCOM可以设置为模拟电源范围±100mV内的任何电平。对该寄存器的写操作会将内部通道指针重置为优先级最高的通道(见表12)。

- 0 = 通道不进行转换。
- 1 = 待转换通道。

SYSRED (地址 = 06h)

表 22 SYSRED (地址 = 06h)

BIT7	BIT6	BIT5	BIT4	BIT3	BIT2	BIT1	BIT0
0	0	REF	GAIN	TEMP	V _{CC}	0	OFFSET

默认值 = 00h

该寄存器用于自动扫描模式下系统自检信号通道的选择。对该寄存器的写操作会将内部通道指针重置 为优先级最高的通道(见表**12**)。

- 0 = 通道不进行转换。
- 1 = 待转换通道。

GPIOC (地址 = 07h)

表 23 GPIOC (地址 = 07h)

BIT7	BIT6	BIT5	BIT4	BIT3	BIT2	BIT1	BIT0
CIO7	CIO6	CIO5	CIO4	CIO3	CIO2	CIO1	CIO0

默认值 = 00h

该寄存器将GPIO管脚配置为输入或输出。请注意,管脚的默认配置是输入,需要避免处于浮空状态。请参阅GPIO部分。

- 0 = GPIO为输出。
- 1 = GPIO为输入(默认)。

GPIOD (地址 = 08h)

表 24 GPIOD (地址 = 08h)

BIT7	ВІТ6	BIT5	BIT4	BIT3	BIT2	BIT1	BIT0
DIO7	DIO6	DIO5	DIO4	DIO3	DIO2	DIO1	DIO0

默认值 = 00h

该寄存器用于向GPIO管脚读取和写入数据。当读取此寄存器时,返回的数据与GPIO外部管脚的状态相对应,无论它们是配置为输入还是输出。管脚配置为输入时,对GPIOD的写入无效。请参阅GPIO部分。

0 = GPIO为逻辑低(默认值)。

1 = GPIO为逻辑高。

ID (地址 = 09h)

表 25 ID (地址 = 09h)

BIT7	BIT6	BIT5	BIT4	BIT3	BIT2	BIT1	BIT0
ID7	ID6	ID5	ID4	ID3	ID2	ID1	ID0

默认值 = 8Bh

该只读寄存器提供芯片ID。

订购信息

系列名称	产品型号	工作温度	封装形式	质量等级
	GYC1258QF48I	-40°C ~ +125°C	QFN-48L (7mm×7mm)	工业扩展级
	GYC1258QF48M	-55°C ~ +125°C	QFN-48L (7mm×7mm)	普军级
GYC1258	GYC1258QF48N1	-55°C ~ +125°C	QFN-48L (7mm×7mm)	GJB7400 N1 级
	GYC1258CQAM	-55°C ~ +125°C	CQFP-48L	普军级
	GYC1258CQAB	-55°C ~ +125°C	CQFP-48L	GJB597 B 级

外形类型及尺寸图

